

# 第5章 方程求根

## Zeros and Roots

苏芮

[srhello@zju.edu.cn](mailto:srhello@zju.edu.cn)

开物苑4-202

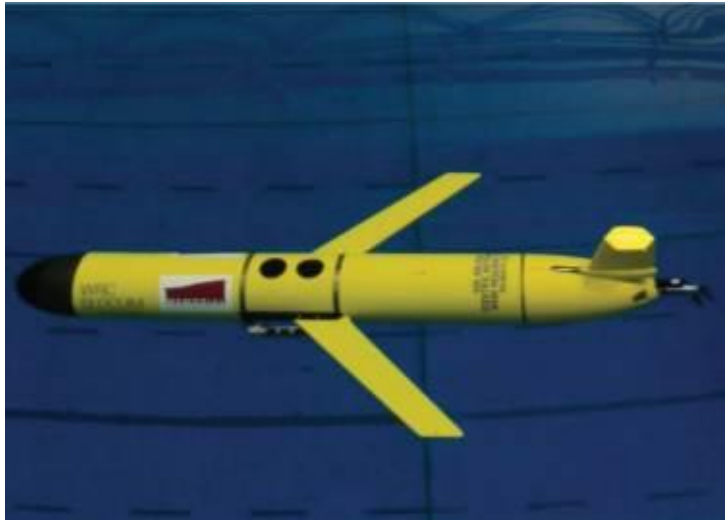
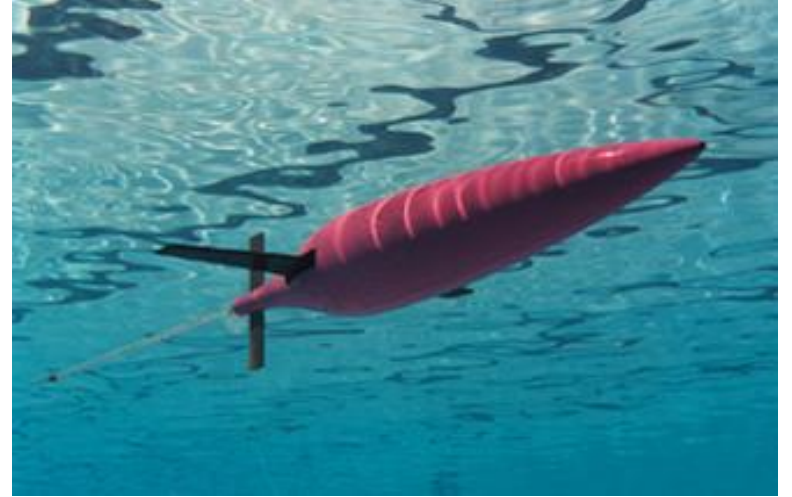
## 1. 最小二乘法

- 与插值法的区别？适用范围？
- 为什么用最小二乘（2范数）？
- 如何构建法方程组？（基本思路是什么？）
- 最小二乘直线拟合？最小二乘指数拟合？非线性最小二乘指数拟合？
- QR分解法

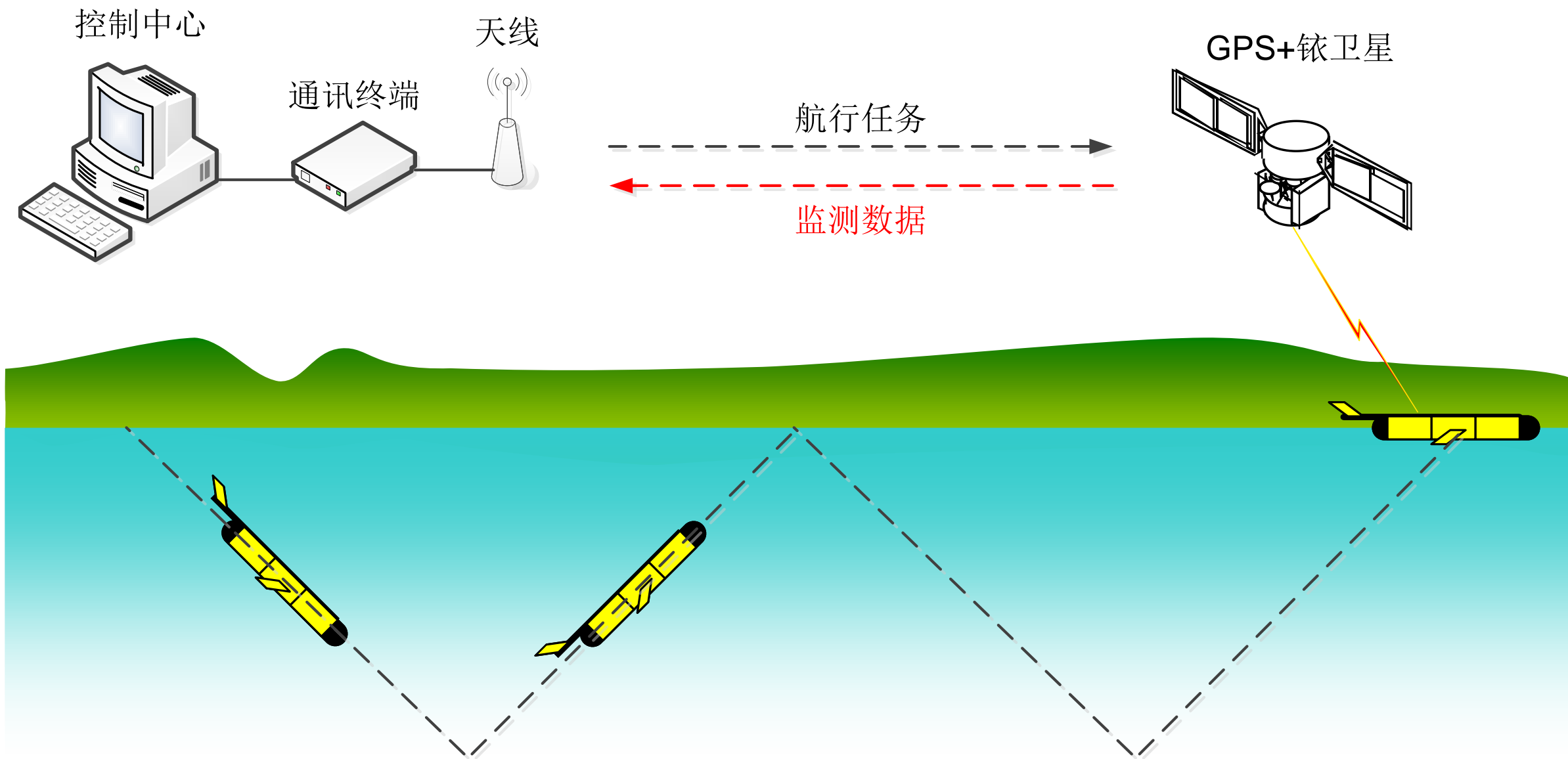
## 2. 大作业选题讲解

鼓励结合国防军工选题，要和课程有相关性，要初步符合科研论文格式（绪论、研究内容、研究方法、实验验证，结果分析等，参考机械工程学报或本科毕设模板）

# 水下滑翔机



# 水下滑翔机



# 水下滑翔机几何特征与水动力特性

## ◆ 水下滑翔机关键几何特征的参数化表达

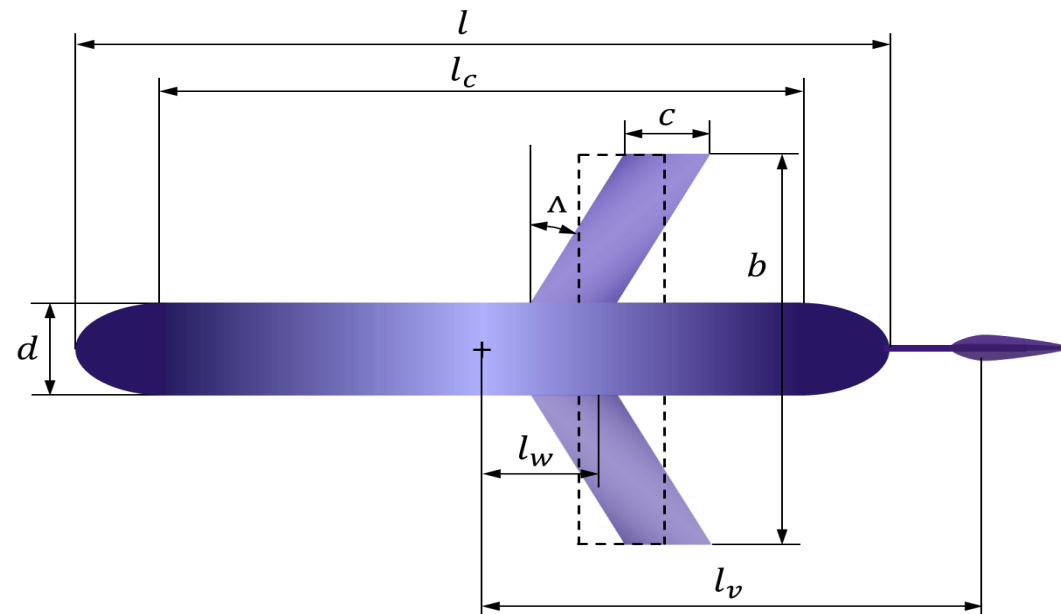
机身细长比:  $f = \frac{l_c}{d}$ ,

机翼长宽比:  $AR = \frac{b^2}{S}$ ,

机翼翼展比:  $\kappa = \frac{b}{d}$ ,

机翼厚度比:  $\tilde{t} = \frac{t}{\bar{c}}$

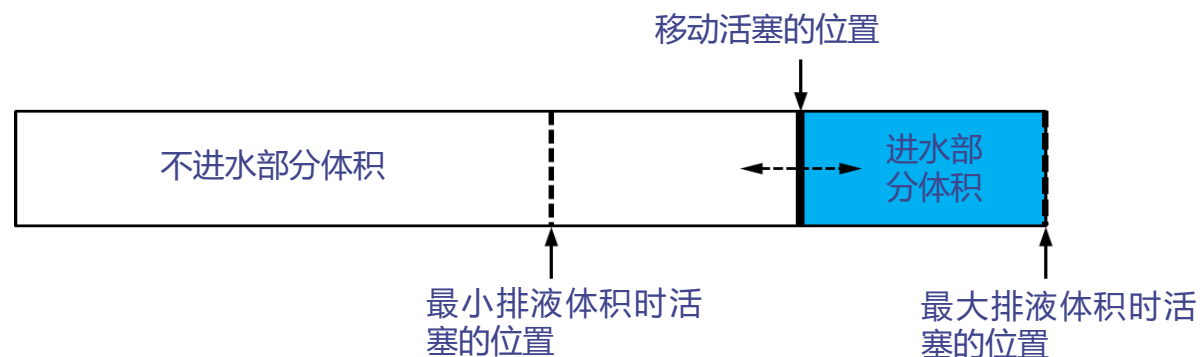
机翼相对位置:  $\bar{l}_w = l_w / l_c$  尾翼相对位置:



$\bar{l}_v = l_v / l_c$  尾翼相对面积:  $S_v = S_v / S_f$

浮力肺能力:  $V = (1 + \bar{\eta})V_{NB}$ ,  $\bar{\eta} = V / V_{NB} - 1$

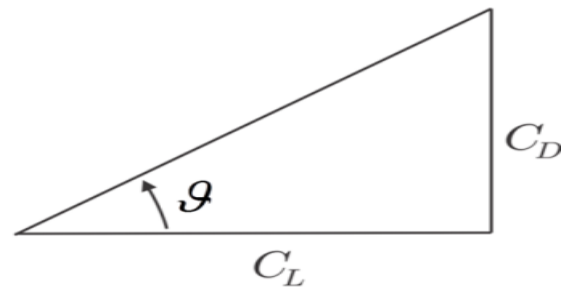
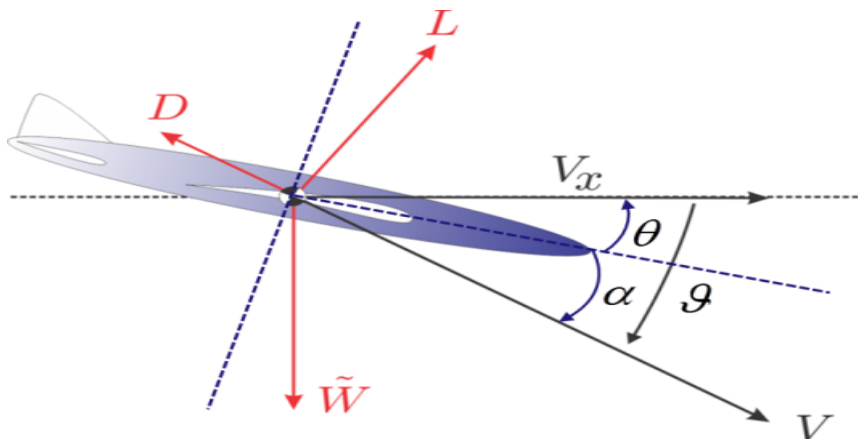
$$\begin{aligned} \tilde{W} &= W - B = \rho g V_{NB} - \rho g (1 + \eta) V_{NB} \\ &= -\eta \rho g V_{NB} = -\left( \frac{\eta}{1 + \bar{\eta}} \right) \rho g V \\ &\downarrow \\ \eta &\in [-\bar{\eta}, \bar{\eta}] \end{aligned}$$



# 水下滑翔机运动性能分析

## ◆ 纵剖面锯齿形稳态运动

### • 纵剖面锯齿形稳态运动受力分析



速度方向受力平衡：

$$C_D \left( \frac{1}{2} \rho V^2 S \right) = \tilde{W} \sin \varphi$$

$$V = \sqrt{\frac{2\tilde{W} \sin \varphi}{\rho S C_D}}$$

$$V_x = V \cos \varphi$$

$$V_z = V \sin \varphi$$

$$\sin \varphi = \frac{C_D}{\sqrt{C_D^2 + C_L^2}}$$

$$\cos \varphi = \frac{C_L}{\sqrt{C_D^2 + C_L^2}}$$

# 水下滑翔机运动性能分析

## • 两种特殊的滑翔状态

### 最大水平速度滑翔状态:

$$V_x = \sqrt{\frac{2\tilde{W}}{\rho S}} \frac{C_L}{[C_L^2 + C_D^2]^{3/4}}$$

$$\max \left( \frac{C_L}{[C_L^2 + C_D^2]^{3/4}} \right)$$



$$\sigma = 2K_d C_{D_0}$$

$$C_{L_{\max V_x}} = \frac{\sqrt{2}}{4K_d} \sqrt{-(1+\sigma) + \sqrt{(1+\sigma)^2 + 8\sigma^2}}$$

$$C_{D_{\max V_x}} = C_{D_0} + \frac{1}{8K_d} \left[ -(1+\sigma) + \sqrt{(1+\sigma)^2 + 8\sigma^2} \right]$$

$$\tan \vartheta_{\max V_x} = \frac{C_{D_{\max V_x}}}{C_{L_{\max V_x}}}, \quad \vartheta_{\text{md}} \rightarrow \arctan(1/\sqrt{2}) \approx 35.5^\circ$$

### 最小阻力滑翔状态: 最小滑翔角状态, 产生最大的水平航行范围

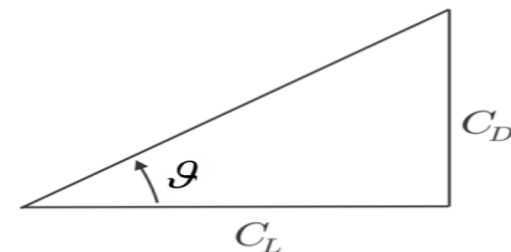
$$\tan \vartheta = \frac{C_D}{C_L} = \frac{C_{D_0} + K_d C_L^2}{C_L}$$

$$\max \left( \frac{C_{D_0} + K_d C_L^2}{C_L} \right)$$



$$C_{D_{\text{md}}} = 2C_{D_0}, \quad C_{L_{\text{md}}} = \sqrt{\frac{C_{D_0}}{K_d}}$$

$$\tan \vartheta_{\text{md}} = \frac{C_{D_{\text{md}}}}{C_{L_{\text{md}}}}, \quad \vartheta_{\text{md}} \rightarrow \arctan(2\sqrt{C_{D_0} K_d}) = 7^\circ$$



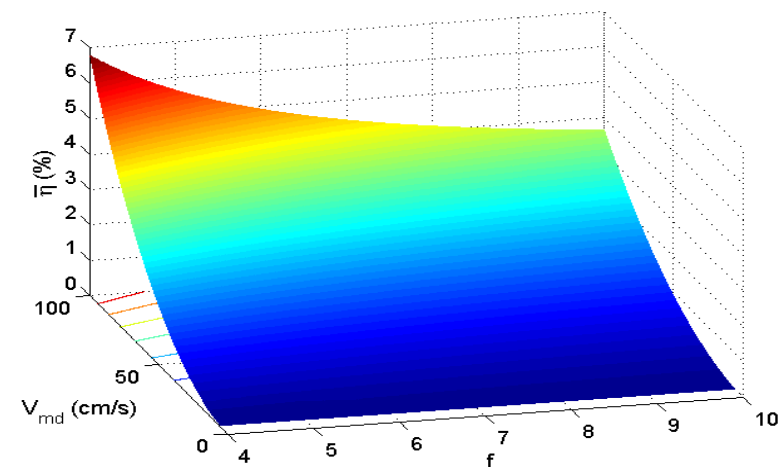
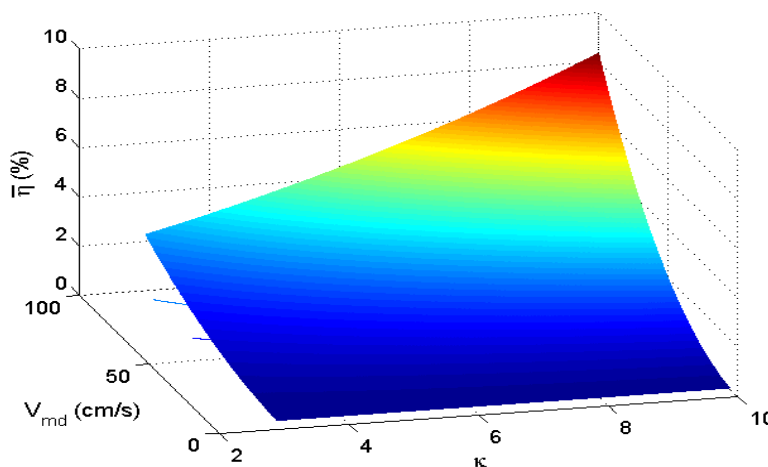
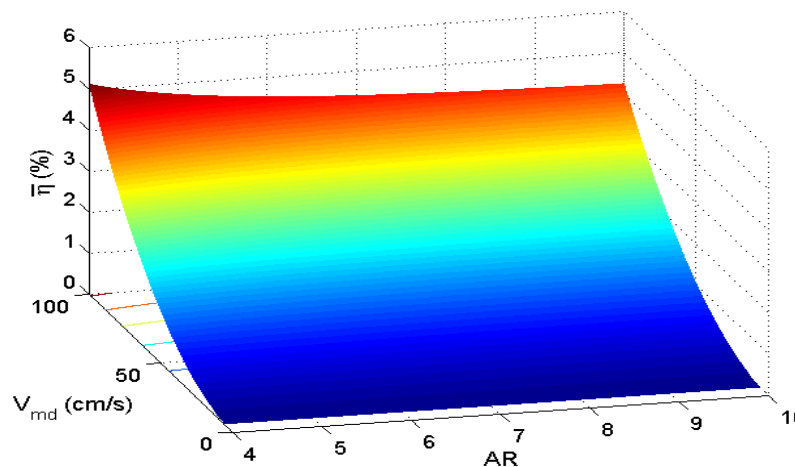
# 水下滑翔机运动性能分析

## ◆ 水下滑翔机几何特征对纵剖面内运动性能的影响

- 对浮力肺能力的影响:

$$\bar{\eta}_{\text{md}} = \frac{1}{\Psi_{\text{md}} - 1}, \quad \Psi_{\text{md}} = \frac{1}{\text{Re}_{l_{\text{md}}}^2} \frac{\pi}{2} \frac{g l_c^3}{\nu^2} \frac{AR}{\kappa^2} \frac{1}{\sqrt{C_{D_{\text{md}}}^2 + C_{L_{\text{md}}}^2}}$$

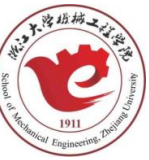
$$C_{D_{\text{md}}} = 2C_{D_0}, \quad C_{L_{\text{md}}} = \sqrt{\frac{C_{D_0}}{K_d}} \quad AR = 6.5, \quad \kappa = 6, \quad f = 7, \quad \tilde{t} = 0.12$$



**结论:** 对于给定的最小阻力速度，要获得越小的浮力肺能力，增大机翼的长宽比，减小机翼的翼展比，并增大机身的细长比。

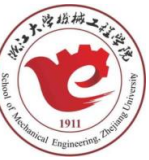


# 方程求根



代数方程的求根问题是一个古老的数学问题。理论上, $n$ 次代数方程在复数域内一定有 $n$ 个根(考虑重数)。早在16世纪就找到了三次、四次方程的求根公式,但直到19世纪才证明大于等于5次的一般代数方程式不能用代数公式求解,而对于超越方程就复杂的多,如果有解,其解可能是一个或几个,也可能是无穷多个。一般也不存在根的解析表达式。因此需要研究数值方法求得满足一定精度要求的根的近似解。

# 方程求根

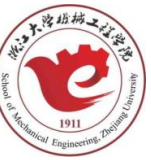


## 方程数值求解基本方法:

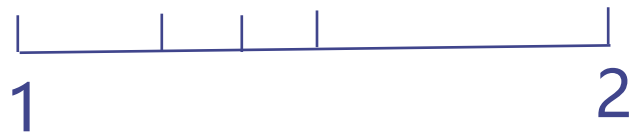
**(1)找到有根区间**(Find the area for the root)

**(2)不断接近准确值**(Approach)

# 二分法

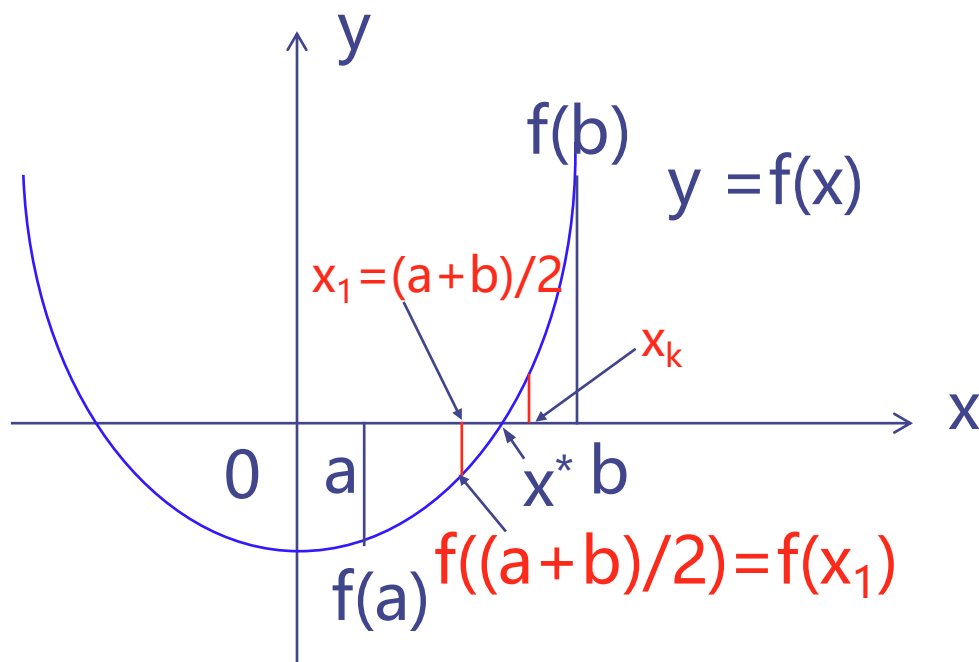


$$x^2 - 2 = 0 \quad \sqrt{2}$$



$$1\frac{1}{2}, 1\frac{1}{4}, 1\frac{3}{8}, 1\frac{5}{16}, 1\frac{13}{32}, 1\frac{27}{64}, \dots$$

# 二分法



$$[a, b], [a_1, b_1], [a_2, b_2], \dots, [a_k, b_k]$$

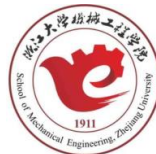
$$|x^* - x_k| \leq \frac{b_k - a_k}{2} = \frac{b - a}{2^{k+1}}$$

$$\frac{b - a}{2^{k+1}} \leq \epsilon$$

若取  $[a_k, b_k]$  的中点  $x_k = \frac{a_k + b_k}{2}$  作为所求根的近似值  $\{x_k\}: x_0, x_1, x_2, \dots, x_k, \dots$

**所谓二分法，是使用对分区间的方法，保留有根区间，舍去无根区间，并且如此不断地对分下去，以逐步逼近方程根的方程求解方法**

# 二分法



|

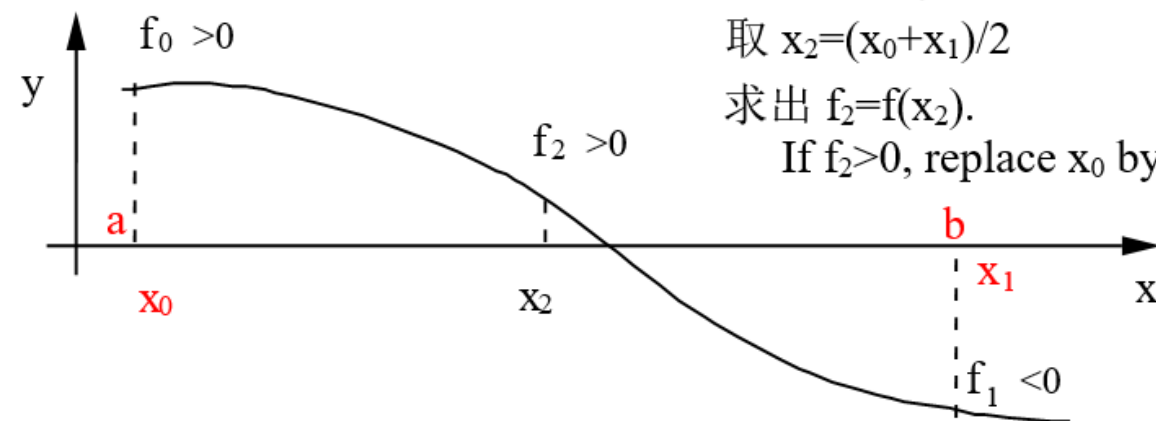
设定  $x_0=a$ ,  $x_1=b$ ; 使得  $f_0 \cdot f_1 < 0$

假设:  $f_0 > 0$ ,  $f_1 < 0$ .

取  $x_2 = (x_0 + x_1) / 2$

求出  $f_2 = f(x_2)$ .

If  $f_2 > 0$ , replace  $x_0$  by  $x_2$ .



继续取  $x_2 = (x_0 + x_1) / 2$ .

判断: is  $|f_2| < \text{tolerance}$ ?

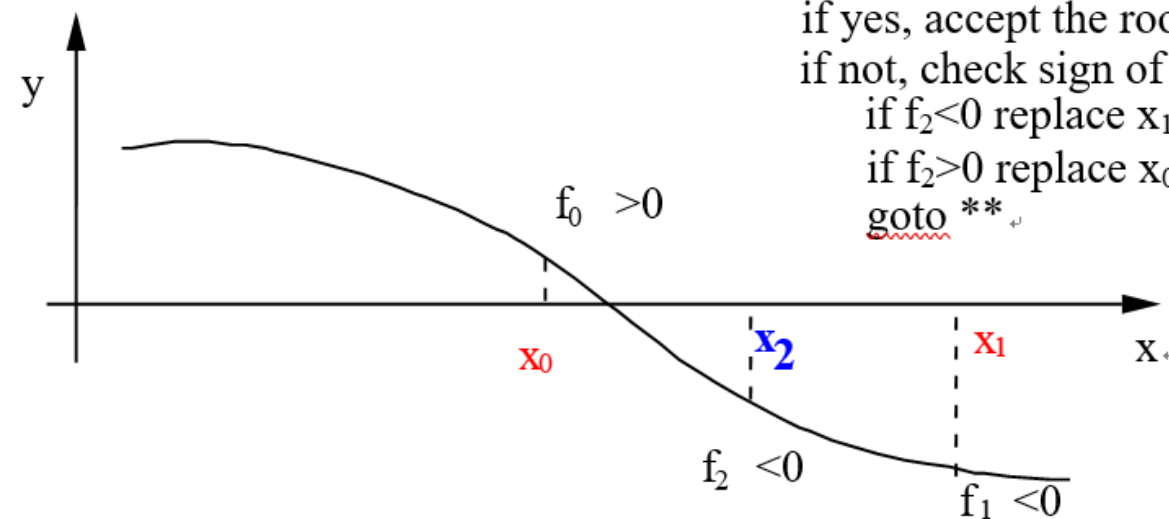
if yes, accept the root as  $x = x_2$ .

if not, check sign of  $f_2$

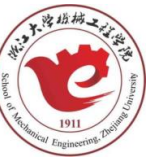
if  $f_2 < 0$  replace  $x_1$  by  $x_2$ ,

if  $f_2 > 0$  replace  $x_0$  by  $x_2$ .

goto \*\*.



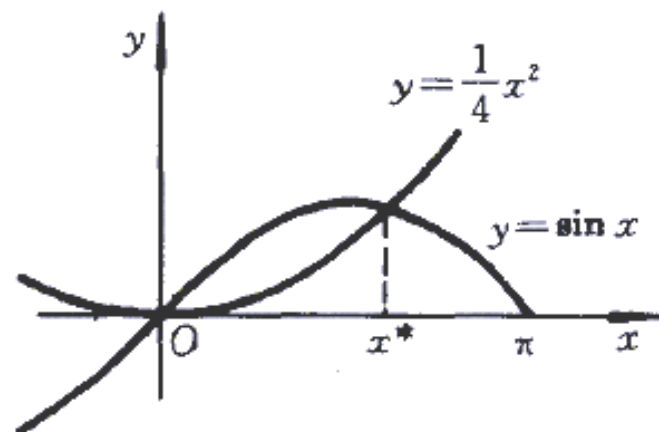
# 二分法



```
k = 0;
while abs(b-a) > eps*abs(b)
    x = (a + b)/2;
    if sign(f(x)) == sign(f(b))
        b = x;
    else
        a = x;
    end
    k = k + 1;
end
```

# 二分法

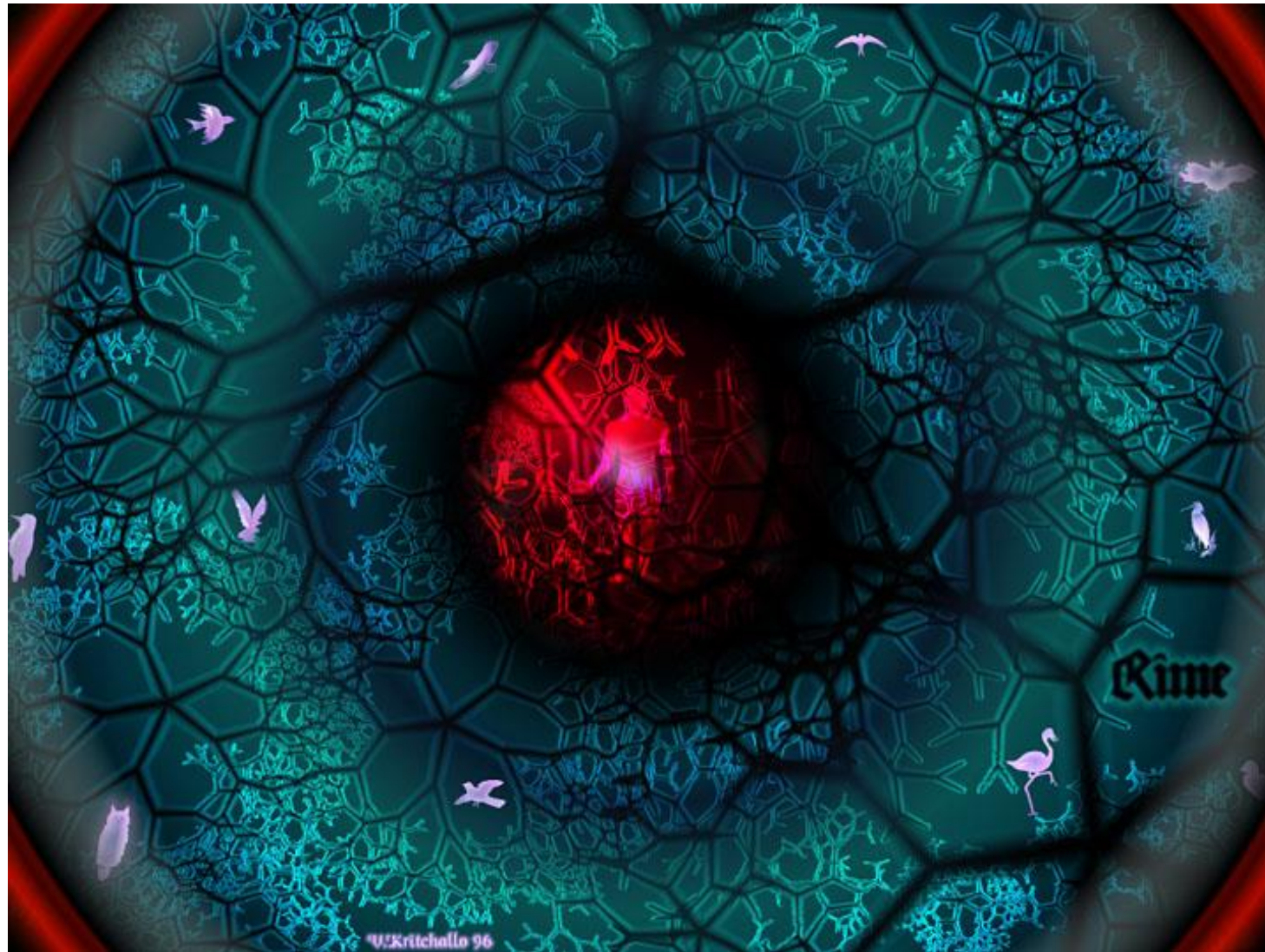
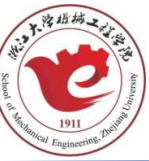
**例 1** 用二分法求方程  $f(x) = \sin x - \frac{x^2}{4} = 0$  的非零实根的近似值, 使误差不超过  $10^{-2}$ .



$$x^* \in [1.5, 2].$$

$k$	$a_k$	$b_k$	$x_k$	$f(x_k)$
0	1.5	2	1.75	0.218361
1	1.75	2	1.875	0.0751795
2	1.875	2	1.9375	-0.00496228
3	1.875	1.9375	1.90265	0.0404208
4	1.90625	1.9375	1.921875	0.156014
5	1.921875	1.9375	1.9296875	0.00536340

# 二分法应用



荷兰的克里查罗(V.V.Kritchallo )的 分形作品《霜》(*Rime*)



分形理论是当今世界十分风靡和活跃的新理论、新学科。分形的概念是美籍数学家曼德布罗特(B.B.Mandelbort)首先提出的。1967年他在美国权威的《科学》杂志上发表了题为《英国的海岸线有多长?》的著名论文。

自相似原则和**迭代生成**原则是分形理论的重要原则。它表征分形在通常的几何变换下具有不变性,即标度无关性。由自相似性是从不同尺度的对称出发,也就意味着递归。分形体中的自相似性可以是完全相同,也可以是统计意义上的相似。标准的自相似分形是数学上的抽象,迭代生成无限精细的结构,如科契(Koch)雪花曲线、谢尔宾斯基(Sierpinski)地毯曲线等。这种有规分形只是少数,绝大部分分形是统计意义上的无规分形。



# 一种谢宾斯基三角构造方法



## 背景

谢宾斯基三角 (Sierpiński triangle) 是一种分形集合，具有自相似的特性。整体形状像一个正三角形，并且每条边被二等分，使得三角形被细分成更小的等边三角形。



## 构造方法之一：混沌游戏 (Chaos game)

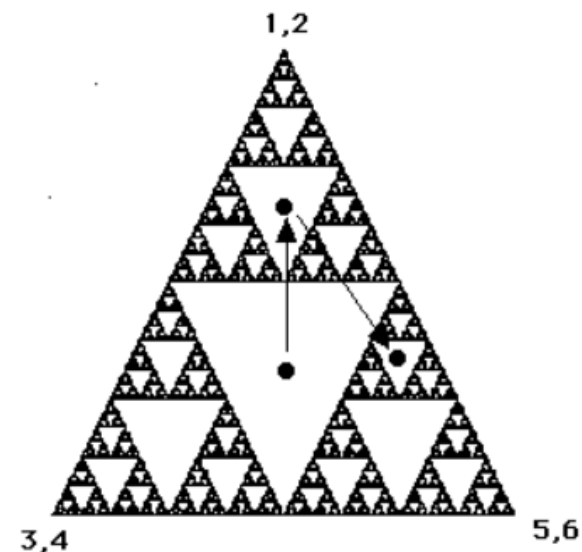
首先固定一个最外圈的大三角形，方便起见我们将三个顶点取为： $P_1(0,0)$ ， $P_2(1,0)$ ， $P_3\left(\frac{1}{2}, \frac{\sqrt{3}}{2}\right)$  初始点  $v_0$  取为三角形内（或边上）任意一点，比如  $(0,0)$ 。

之后利用递推式

$v_{n+1} = 1/2 * (v_n + P_{r_n})$ ， $r_n$  是从  $[1, 2, 3]$  等概率随机取的数。

绘制 从  $v_0$  到  $v_\infty$  的点。如果第一个点  $v_0$  是 三角上的一个点，那么所有的点  $v_n$  都在谢尔宾斯基三角形上。如果位于最外圈三角形内的第一个点  $v_0$  不是谢尔宾斯基三角形上的一个点，那么任何一个点  $v_n$  都不会位于谢尔宾斯基三角形上，但是它们会在三角形上收敛。

为什么Chaos Game可以构造出谢宾斯基三角？如图可以看出，比如起始点在中心，经过一步步的迭代，每次都会进入到更小的三角形的中心，而永远无法落到三角形的边上。经过足够多的迭代后，这些落点就将空白三角形的“轮廓”勾勒了出来。



## 代码实现

根据以上信息，容易推得：

1. 选择P1  $x_{n+1} = \frac{1}{2} * x_n$  ,  $y_{n+1} = \frac{1}{2} * y_n$

2. 选择P2  $x_{n+1} = \frac{1}{2} * (x_n + 1)$  ,  $y_{n+1} = \frac{1}{2} * y_n$

3. 选择P3  $x_{n+1} = \frac{1}{2} * (x_n + \frac{1}{2})$  ,  $y_{n+1} = \frac{1}{2} * (y_n + \frac{\sqrt{3}}{2})$

$$P_1(0,0)$$

$$P_2(1,0)$$

$$P_3\left(\frac{1}{2}, \frac{\sqrt{3}}{2}\right)$$

可以将以上三个式子写成：

$$v_{n+1} = Av_n + b, \quad v_n = \begin{bmatrix} x_n \\ y_n \end{bmatrix}$$

$$A = \begin{bmatrix} 1/2 & 0 \\ 0 & 1/2 \end{bmatrix}$$

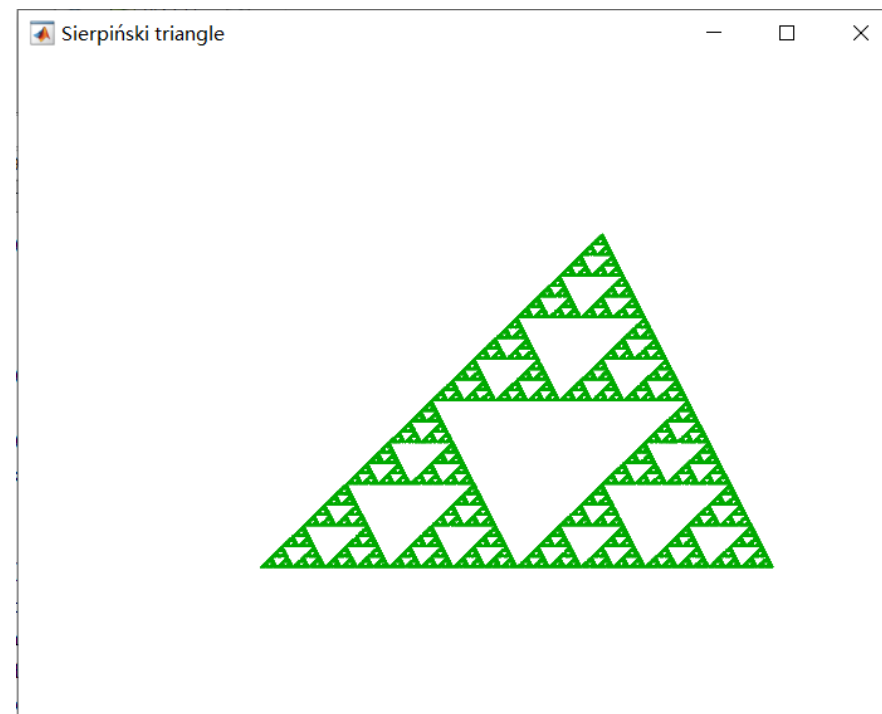
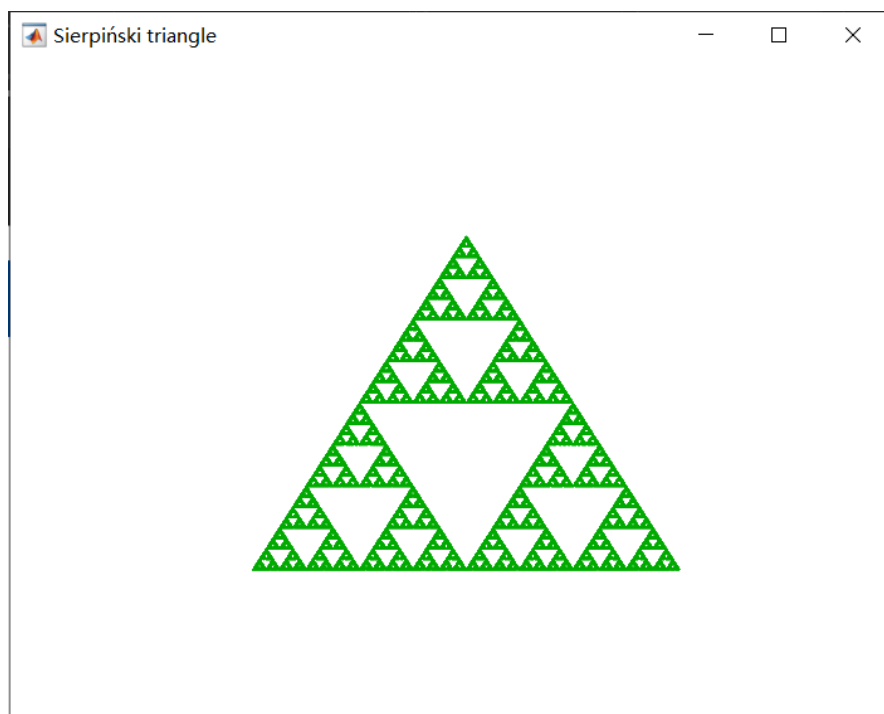
等概率选取 $b_1, b_2, b_3$ 作为 $b$ 即可。

$$b_1 = \begin{bmatrix} 0 \\ 0 \end{bmatrix}, \quad b_2 = \begin{bmatrix} 1/2 \\ 0 \end{bmatrix}, \quad b_3 = \begin{bmatrix} 1/4 \\ \sqrt{3}/4 \end{bmatrix}$$

```
p = [ 1/3 2/3 1.00];  
A = [ .5  0; 0  .5];  
b1 = [0; 0];  
b2 = [.5; 0];  
b3 = [.25; sqrt(3)/4];
```

```
x = [0; 0];  
xs = zeros(2,n);  
xs(:,1) = x;  
for j = 2:n  
    r = rand;  
    if r < p(1)  
        x = A*x + b1;  
    elseif r < p(2)  
        x = A*x + b2;  
    else  
        x = A*x + b3;  
    end  
end
```

最后，实际上最外圈的三角形并不一定是等边三角形，可以通过改变 $b$ 的值来形成不同形状的三角形，也可以改变缩放的比例，即改变 $A$ 。还可以拓展成四边形、五边形等。





# 分形网络制造

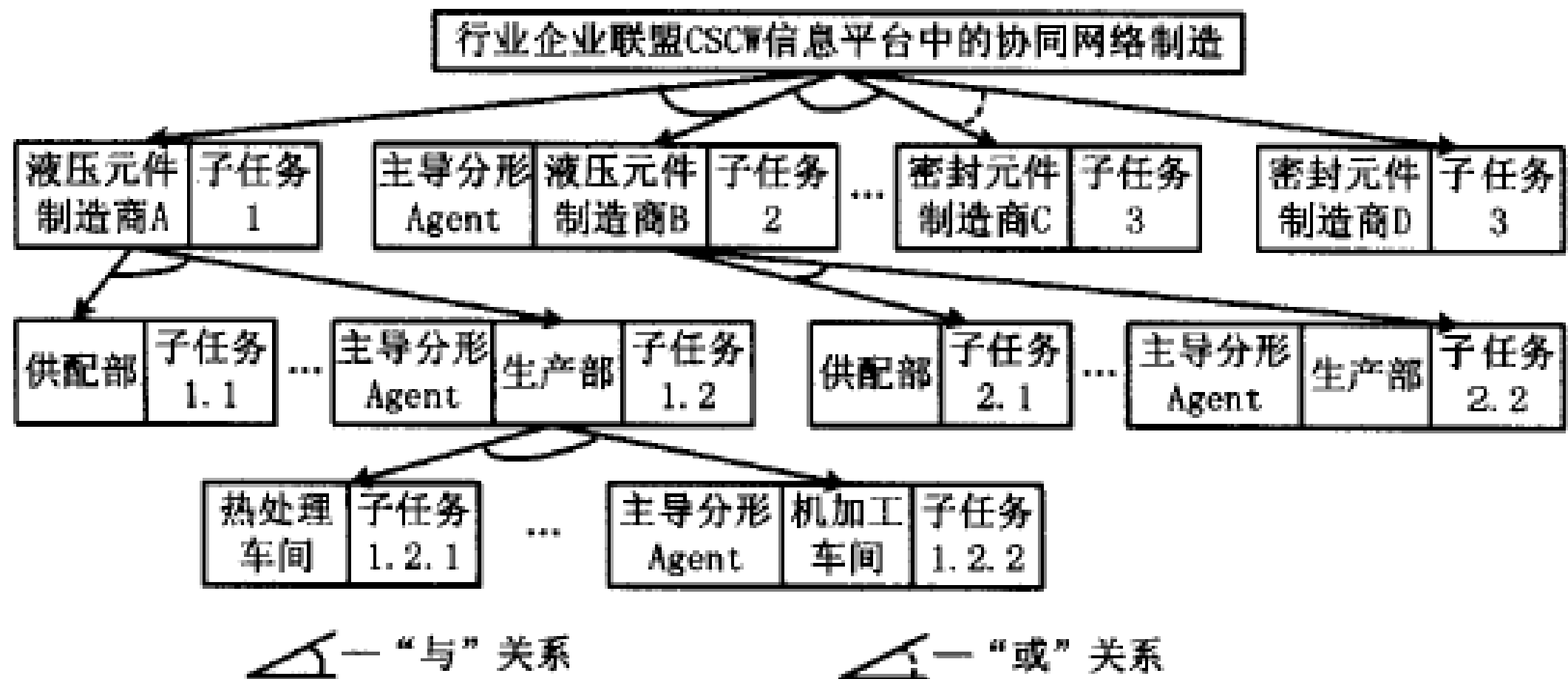
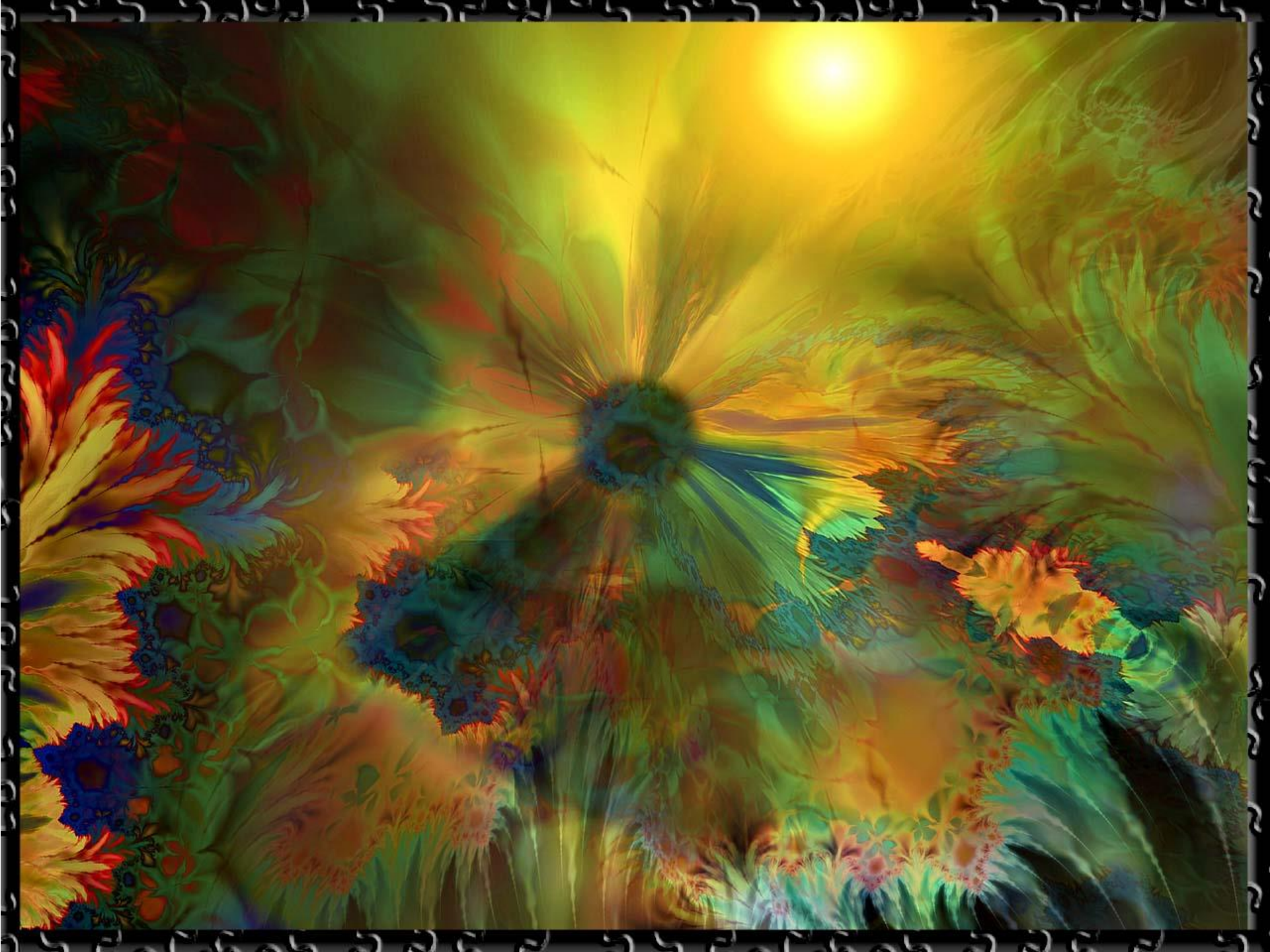
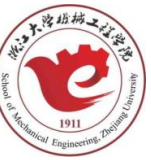


图1 分形网络协同制造的目标结构树



# 牛顿法



求解非线性方程  $f(x) = 0$

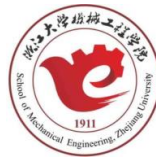
是否可以将它转换成线性方程进行求解？如何转化？

把函数  $f(x)$  在  $x_k$  处泰勒展开

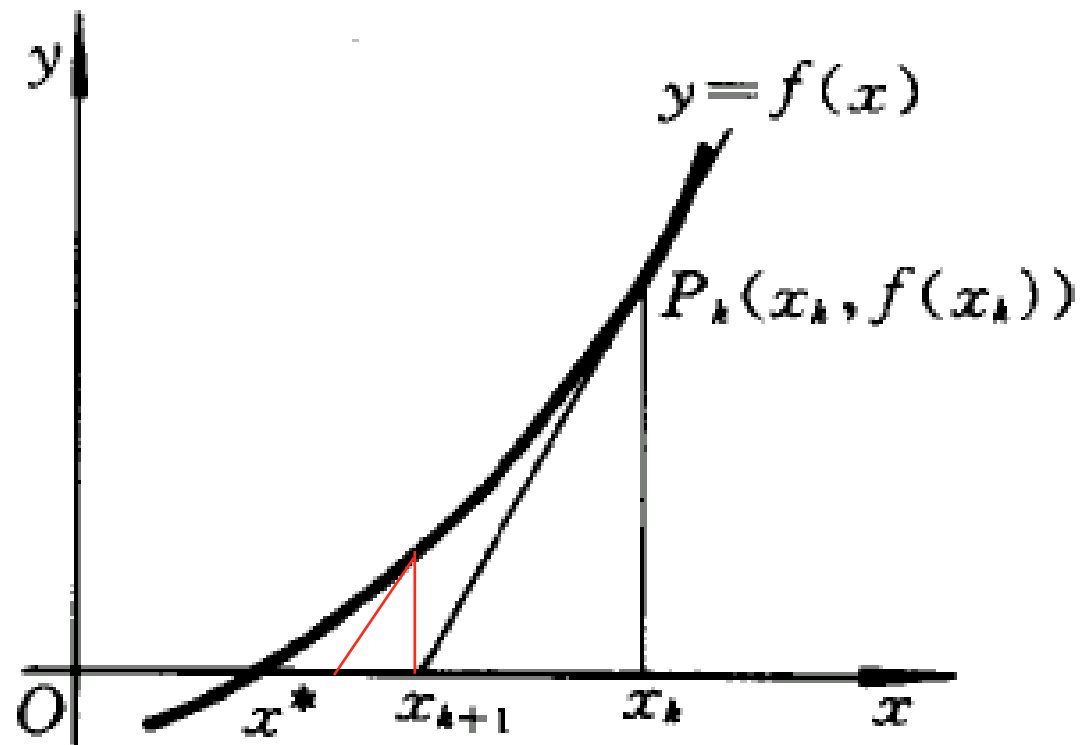
$$f(x_k) + f'(x_k)(x - x_k) = 0$$

$$x_{k+1} = x_k - \frac{f(x_k)}{f'(x_k)} \quad (k = 0, 1, 2, \dots)$$

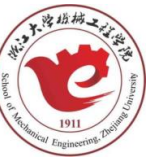
# 牛顿法



## 几何特征

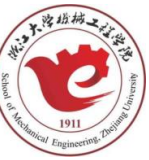


# 牛顿法



```
k = 0;  
while abs(x - xprev) > eps*abs(x)  
    xprev = x;  
    x = x - f(x)/fprime(x)  
    k = k + 1;  
end
```

# 牛顿法



## 应用示例

例 4 用牛顿迭代法求方程  $x - \cos x = 0$  的实根, 要求准确到  $|x_{k+1} - x_k| < 10^{-5}$ .

在  $[0, \frac{\pi}{2}]$  上 当  $x_0 = 1$

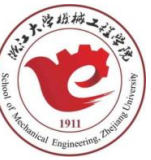
$x_0 \in [0, \frac{\pi}{2}]$  且  $f(x_0)f''(x_0) > 0$

$$x_{k+1} = x_k - \frac{x_k - \cos x_k}{1 + \sin x_k} \quad (k = 0, 1, 2, \dots)$$

表 2-3

$k$	$x_k$
0	1
1	0.750364
2	0.739113
3	0.739086
4	0.739085

# 牛顿法



推论： 求平方根的牛顿迭代法  $\sqrt{M}$

$$f(x) = x^2 - M$$

$$x_{n+1} = x_n - \frac{x_n^2 - M}{2x_n}$$

$$x_{n+1} = \frac{x_n + \frac{M}{x_n}}{2}$$

```
while abs(x - xprev) > eps*abs(x)
    xprev = x;
    x = 0.5*(x + M/x);
end
```

# 牛顿法

推论： 求平方根的牛顿迭代法  $\sqrt{M}$

$$x_{n+1} = \frac{x_n + \frac{M}{x_n}}{2}$$

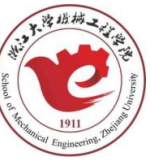
```
while abs(x - xprev) > eps*abs(x)
    xprev = x;
    x = 0.5*(x + M/x);
end
```

$$\sqrt{2} \quad x_0 = 1$$

```
1.5000000000000000
1.4166666666666667
1.41421568627451
1.41421356237469
1.41421356237309
1.41421356237309
```



# 牛顿法



求:  $\sqrt{5}$

$$p_k = \frac{p_{k-1} + \frac{A}{p_{k-1}}}{2} \quad p_0 = 2$$

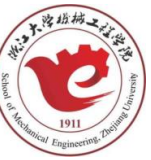
$$p_1 = \frac{2 + 5/2}{2} = 2.25$$

$$p_2 = \frac{2.25 + 5/2.25}{2} = 2.236111111$$

$$p_3 = \frac{2.236111111 + 5/2.236111111}{2} = 2.236067978$$

$$p_4 = \frac{2.236067978 + 5/2.236067978}{2} = 2.236067978$$

# 牛顿法

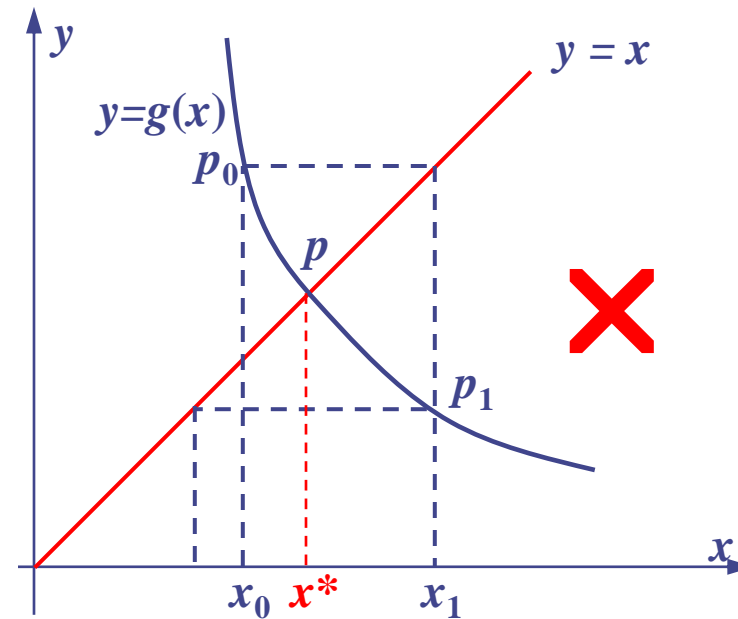
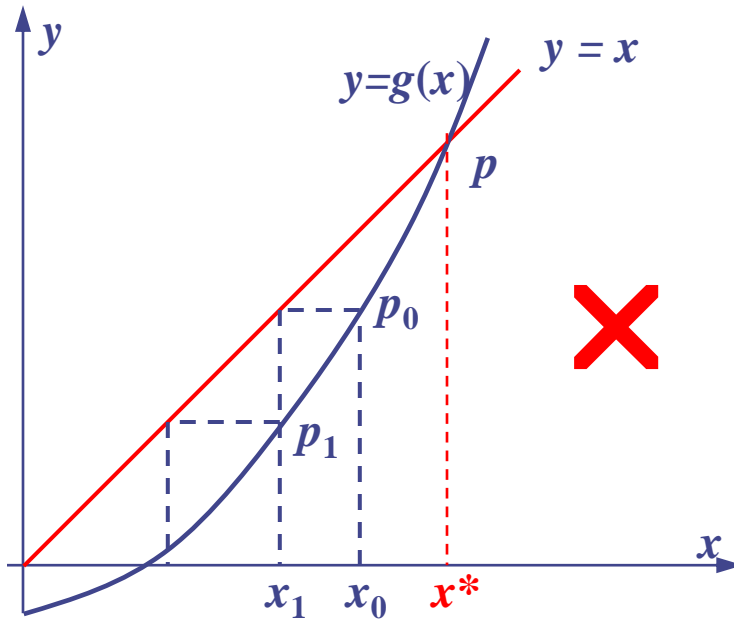
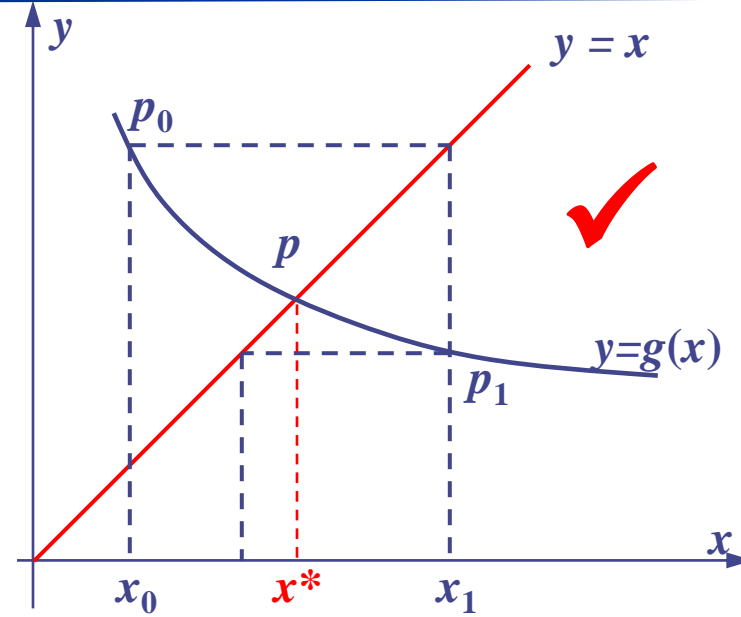
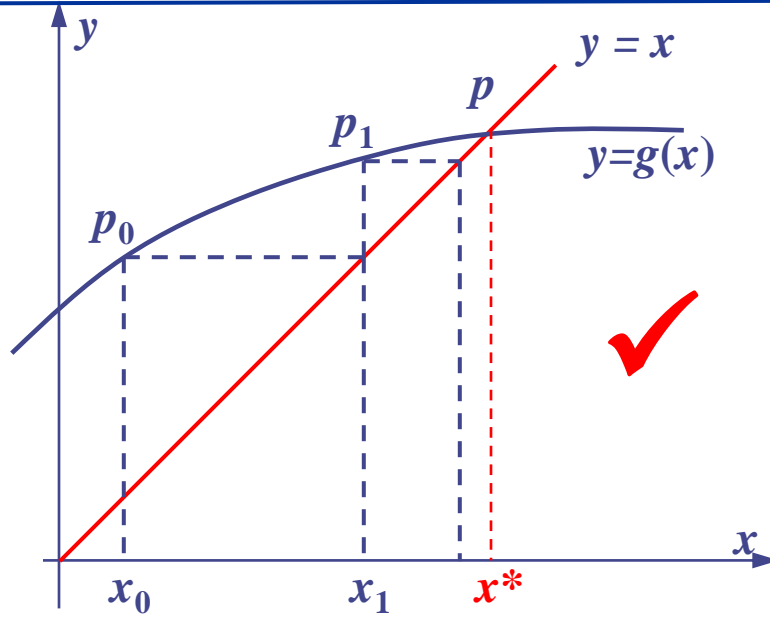


收敛性判断?

$$x_{k+1} = x_k - \frac{f(x_k)}{f'(x_k)} \quad (k = 0, 1, 2, \dots)$$

$$x_{k+1} = g(x_k)$$

# 牛顿法



## 牛顿迭代法的收敛性判断

$$|g'(x_k)| < 1$$

**定理 3** 对于方程  $f(x) = 0$ , 若存在区间  $(a, b)$ , 使

(1) 在  $(a, b)$  内存在方程的单根  $x^*$ ;

(2)  $f''(x)$  在  $(a, b)$  内连续.

则牛顿迭代法在  $x^*$  附近具有局部收敛性.

## 定理3证明

$$g(x) = x - \frac{f(x)}{f'(x)} \quad g'(x) = \frac{f(x)f''(x)}{[f'(x)]^2}$$

$f''(x)$  在  $(a, b)$  内连续

$g'(x)$  在  $(a, b)$  内连续

对于任意给定的正数 $\varepsilon$ , 必存在 $\delta$ , 使得 $g'(x)$ 在 $x^*$ 邻域  $(x^* - \delta, x^* + \delta)$ 内

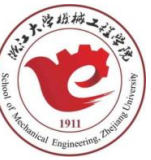
$|g'(x) - g'(x^*)| < \varepsilon$ , 取 $\varepsilon = 1$ , 得 $|g'(x) - g'(x^*)| < 1$ , 即 $|g'(x)| < 1$

$$|g'(x)| < 1$$

## 1. 方程求根

- 与方程组求根的区别？
- 如何用数值法进行方程求根？  
(1. 确定有根区间； 2. 不断逼近真实解)
- 二分法的基本思路？
- 牛顿迭代法的基本思路？ 为什么比二分法收敛的快？ 如何判断  
牛顿迭代法是否会收敛？

# 牛顿法



误差估计?  $x_{n+1} = x_n - \frac{f(x_n)}{f'(x_n)}$

$$0 = f(x^*) = f(x_n) + f'(x_n)(x^* - x_n) + \frac{1}{2}f''(\xi)(x^* - x_n)^2$$

$$x_n - x^* = \frac{f(x_n)}{f'(x_n)} + \frac{\frac{1}{2}f''(\xi)(x^* - x_n)^2}{f'(x_n)}$$

$$e_{n+1} = x_{n+1} - x^* = x_n - \frac{f(x_n)}{f'(x_n)} - x^* = x_n - x^* - \frac{f(x_n)}{f'(x_n)} = \frac{f(x_n)}{f'(x_n)} + \frac{\frac{1}{2}f''(\xi)(x^* - x_n)^2}{f'(x_n)} - \frac{f(x_n)}{f'(x_n)}$$

$$e_{n+1} = \frac{1}{2} \frac{f''(\xi)}{f'(x_n)} e_n^2$$

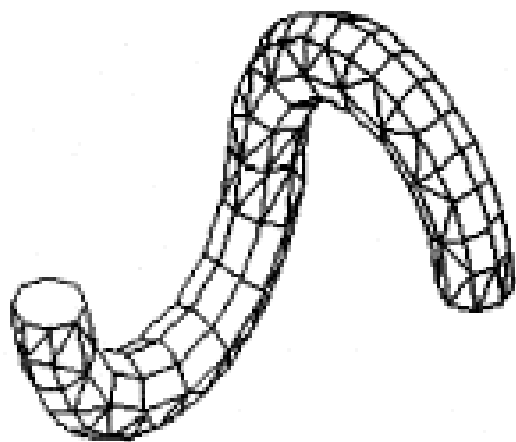
## 牛顿法解方程之混沌情况

牛顿法解复方程专题：对复方程 $f(z) = 0$ ， $f(z)$  为复多项式函数，设函数  $g(z) = z - f(z) / f'(z)$ ，其中  $f'(z)$  为函数 $f(z)$  的导函数。则函  $g(z)$  就是复多项式方程求解的牛顿迭代公式。对于选定的起始点， $g(z)$  迭代大多都会收敛于多项式 $f(z) = 0$  的某个根，但也可能存在许多点，使  $g(z)$  迭代根本就不收敛，甚至可能出现混沌的状态。

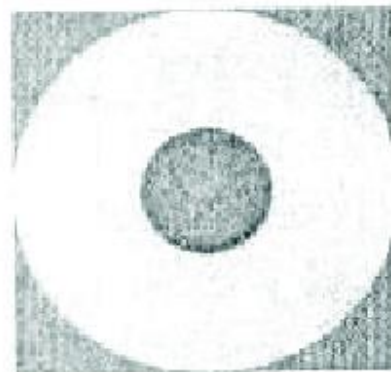
程序中的函数为  $f(z) = z^n - 1$ ， $n \geq 2$ ，也就是求解方程  $z^n = 1$  的根。



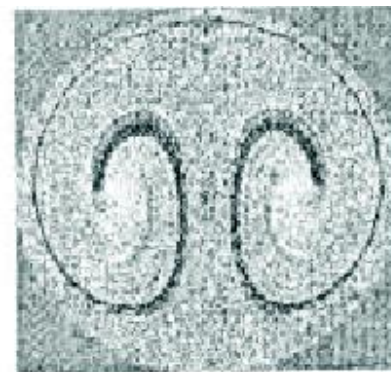




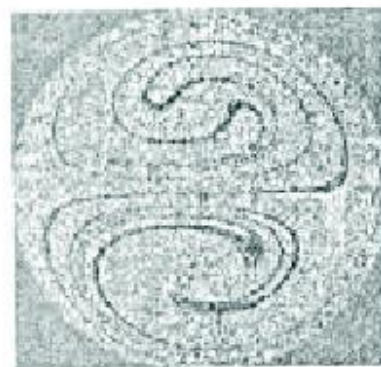
# 混沌 混合



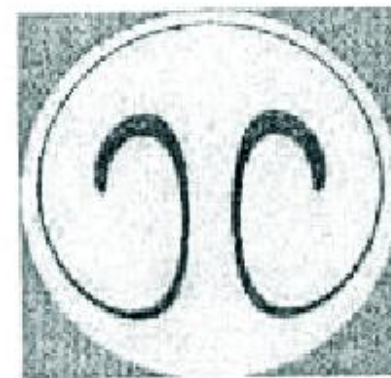
(a)  $n=1$



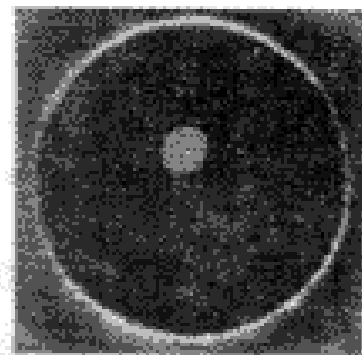
(b)  $n=240$



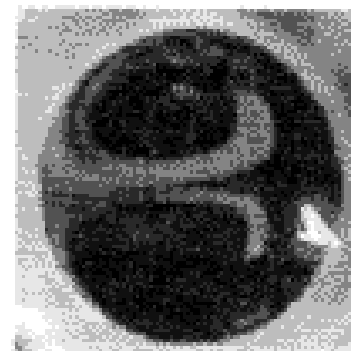
(c)  $n=480$



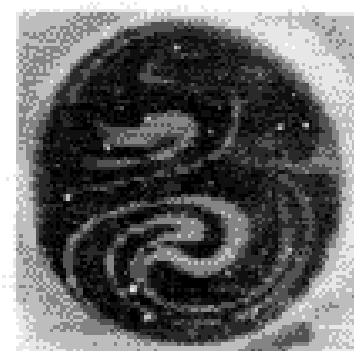
(d)  $n=240$



(a)



(b)



(c)

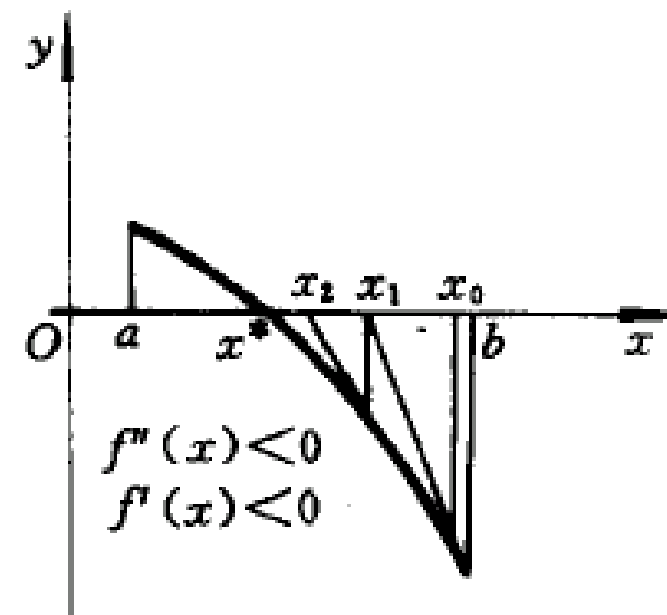
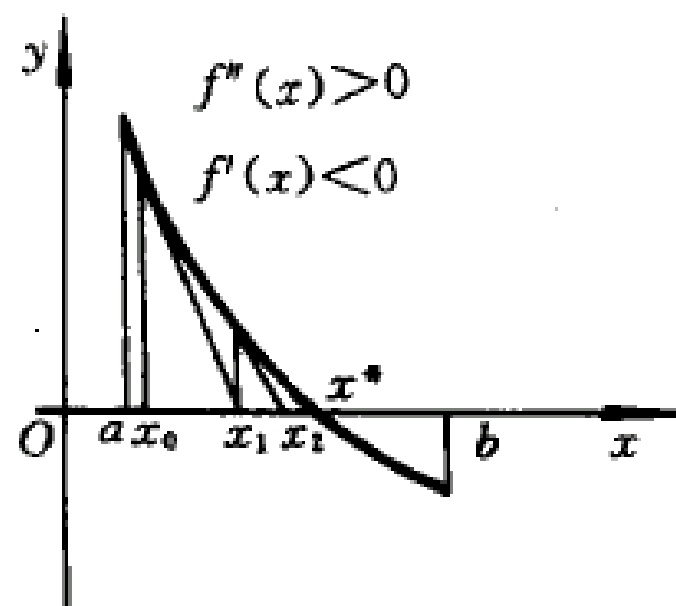
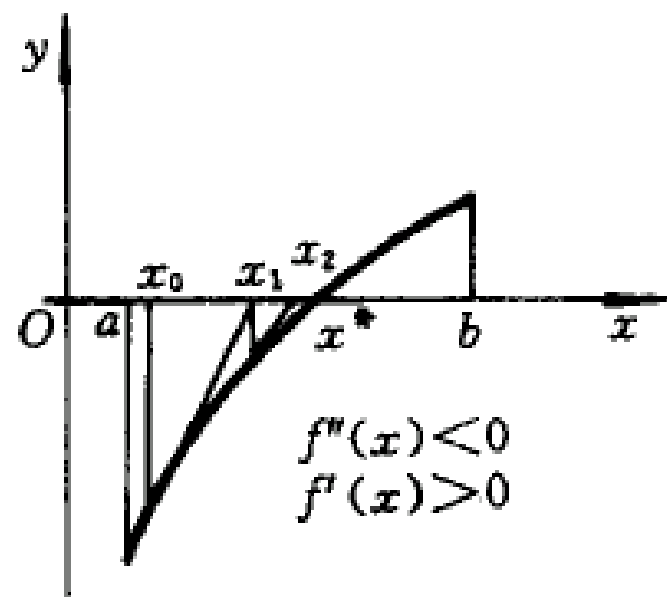
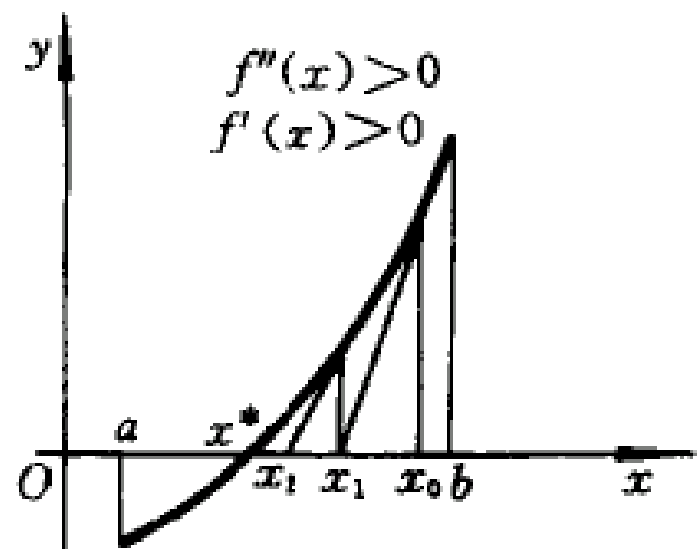
## 牛顿迭代法收敛性

**定理 4** 对方程  $f(x)=0$ , 若存在区间  $[a, b]$ , 使

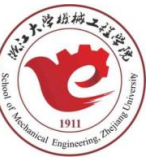
- (1)  $f''(x)$  在  $[a, b]$  上连续;
- (2)  $f(a)f(b) < 0$ ;
- (3) 对任意  $x \in [a, b]$  都有  $f'(x) \neq 0$ ;
- (4)  $f''(x)$  在  $[a, b]$  上保号.

则当初值  $x_0 \in [a, b]$  且  $f(x_0)f''(x_0) > 0$  时, 牛顿迭代过程(2.8)产生的迭代序列  $\{x_k\}$  收敛于方程  $f(x)=0$  在  $[a, b]$  上的唯一实根  $x^*$ .

$$x_0 \in [a, b] \text{ 及 } f(x_0)f''(x_0) > 0$$



# 牛顿法

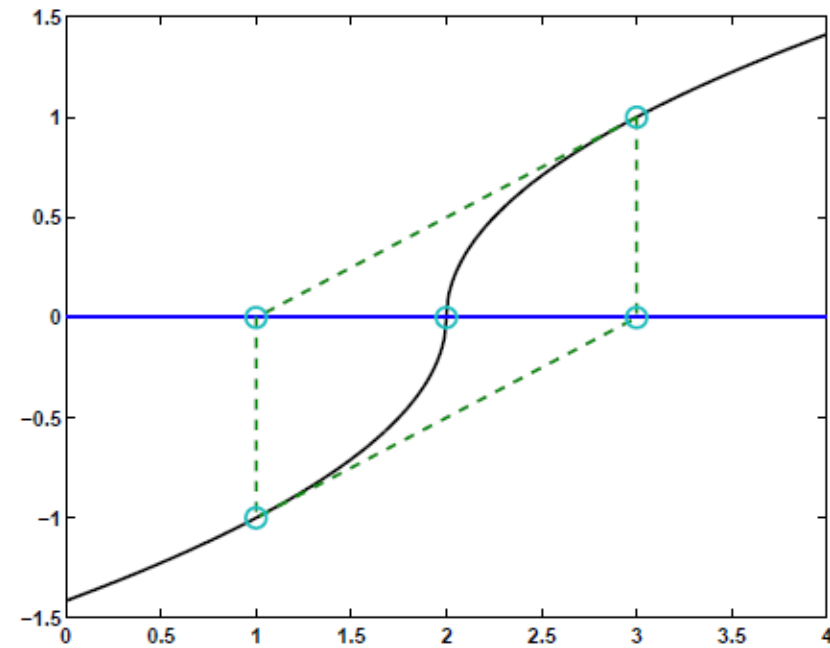


## 一个特殊例子

$$x_{n+1} = x_n - \frac{f(x_n)}{f'(x_n)}$$

$$x_{n+1} - a = -(x_n - a)$$

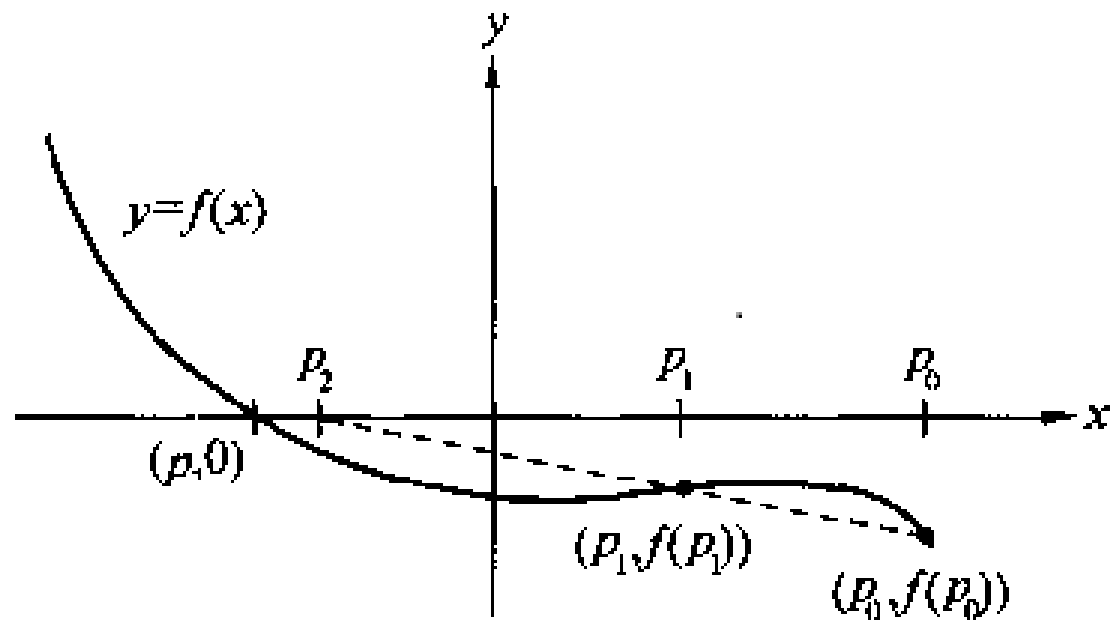
$$f(x) = \text{sign}(x - a)\sqrt{|x - a|}$$



# 割线法

$$s_n = \frac{f(x_n) - f(x_{n-1})}{x_n - x_{n-1}},$$

$$x_{n+1} = x_n - \frac{f(x_n)}{s_n}.$$



# 割线法

$\sqrt{2}$

```
while abs(b-a) > eps*abs(b)
    c = a;
    a = b;
    b = b + (b - c)/(f(c)/f(b)-1);
    k = k + 1;
end
```

1.3333333333333333

1.4000000000000000

1.41463414634146

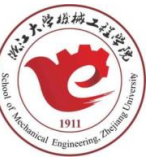
1.41421143847487

1.41421356205732

1.41421356237310

1.41421356237310

# 割线法



## 误差估计

$$e_{n+1} = \frac{1}{2} \frac{f''(\xi) f'(\xi_n) f'(\xi_{n-1})}{f'(\xi)^3} e_n e_{n-1}$$

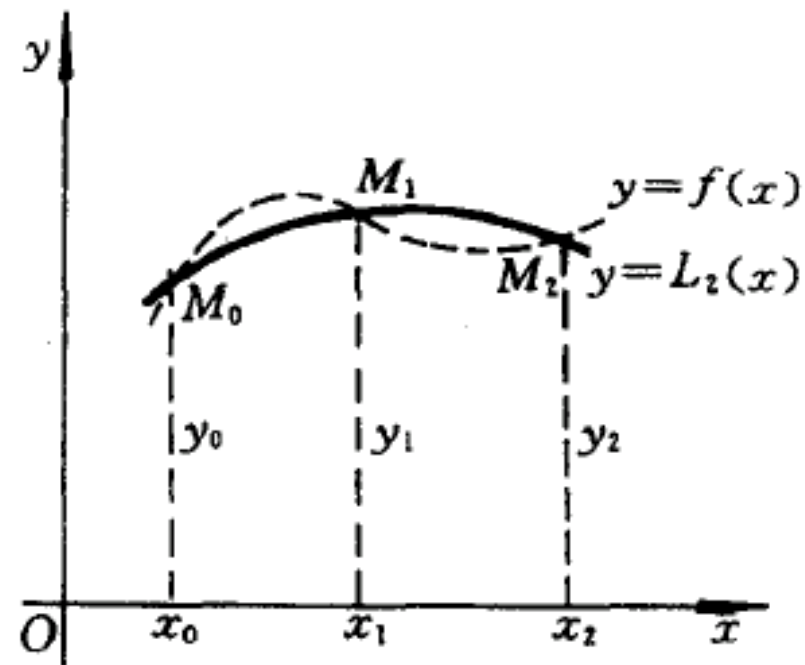
$$e_{n+1} = O(e_n e_{n-1}).$$



# 逆二次插值

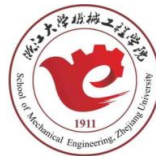
$$\begin{aligned}
 L_2(x) = & y_0 \frac{(x - x_1)(x - x_2)}{(x_0 - x_1)(x_0 - x_2)} \\
 & + y_1 \frac{(x - x_0)(x - x_2)}{(x_1 - x_0)(x_1 - x_2)} \\
 & + y_2 \frac{(x - x_0)(x - x_1)}{(x_2 - x_0)(x_2 - x_1)}
 \end{aligned}$$

抛物线插值



$$a = P(f(a)), \quad b = P(f(b)), \quad c = P(f(c))$$

# 逆二次插值



```
k = 0;
while abs(c-b) > eps*abs(c)

x = polyinterp([f(a),f(b),f(c)], [a,b,c], 0)
a = b;
b = c;
c = x;
k = k + 1;
end
```

这个“纯粹”的**IQI**算法的问题是，多项式插值数据点的横坐标，这里是 $f(a)$ 、 $f(b)$ 和 $f(c)$ ，互不相同。但这里无法保证。例如，通过求解 $f(x)=x^2-2=0$  计算 $\sqrt{2}$ ，并从 $a=-2$ 、 $b=0$ 、 $c=2$  开始，则一开始就出现 $f(a)=f(c)$ 的情况，第一步就无法执行。如果开始时的参数接近这种奇异的情况，例如从 $a=-2.001$ 、 $b=0$ 、 $c=1.999$ 开始，则得到的下一步迭代解近似于 $x=500$ 。

核心：将二分法的可靠性和割线法及IQI算法的收敛速度结合起来

- Start with  $a$  and  $b$  so that  $f(a)$  and  $f(b)$  have opposite signs.
- Use a secant step to give  $c$  between  $a$  and  $b$ .
- Repeat the following steps until  $|b - a| < \epsilon|b|$  or  $f(b) = 0$ .
- Arrange  $a$ ,  $b$ , and  $c$  so that
  - $f(a)$  and  $f(b)$  have opposite signs,
  - $|f(b)| \leq |f(a)|$ ,
  - $c$  is the previous value of  $b$ .
- If  $c \neq a$ , consider an IQI step.
- If  $c = a$ , consider a secant step.
- If the IQI or secant step is in the interval  $[a, b]$ , take it.
- If the step is not in the interval, use bisection.

# fzerotx , feval

```
bessj0 = inline('besselj(0,x)');  
for n = 1:10  
    z(n) = fzerotx(bessj0,[(n-1) n]*pi);  
end  
x = 0:pi/50:10*pi  
y = besselj(0,x); plot(z,zeros(1,10),'o',x,y,'-')  
line([0 10*pi],[0 0],'color','black')  
axis([0 10*pi -0.5 1.0])
```

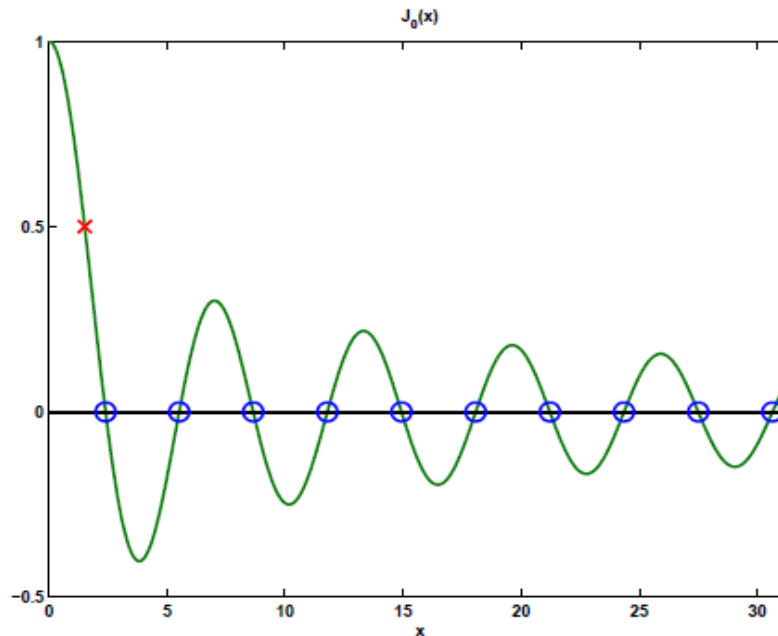
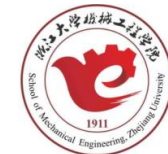


Figure 4.2. Zeros of  $J_0(x)$ .

# fzerogui



`fzerogui(@(x)besselj(0,x),[0,3.83])`

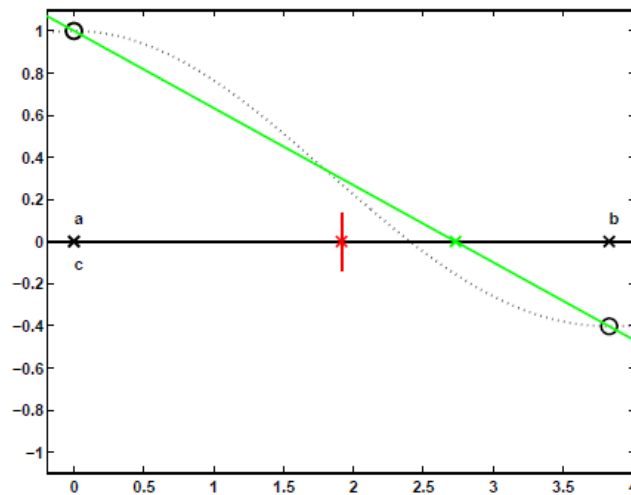


Figure 4.3. Initially, choose secant or bisection.

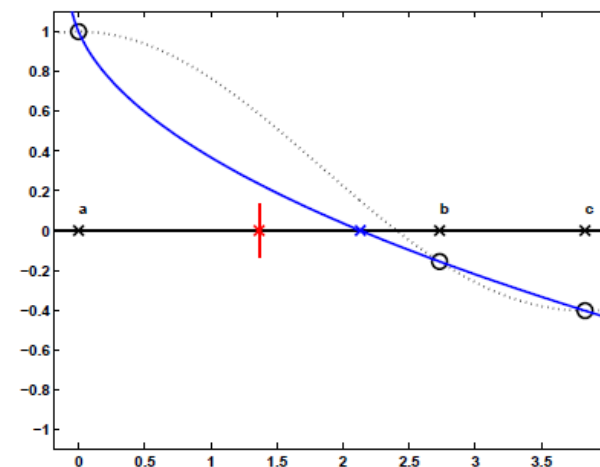


Figure 4.4. Choose IQI or bisection.

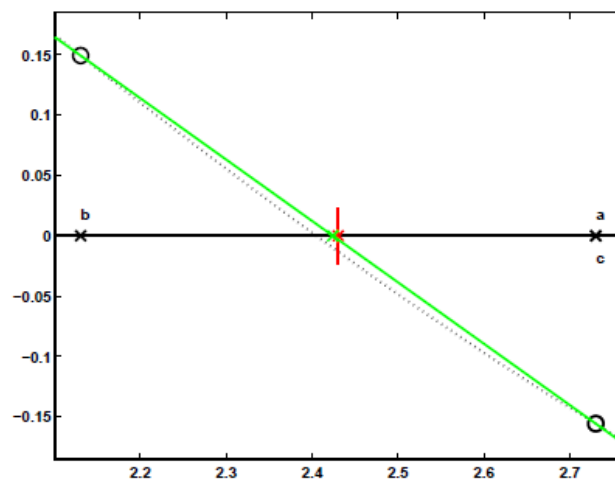


Figure 4.5. Secant and bisection points nearly coincide.

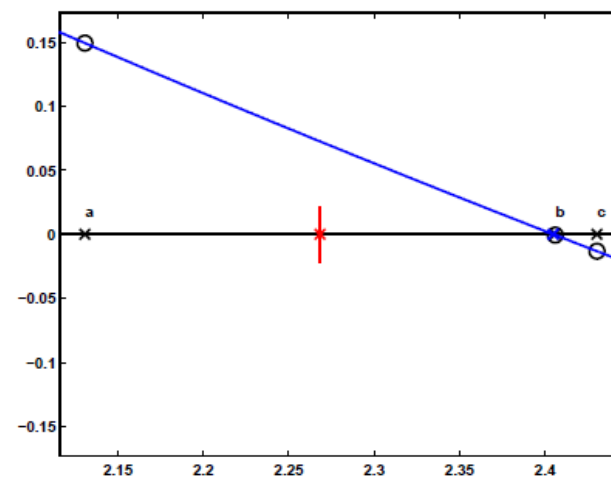


Figure 4.6. Nearing convergence.

# 寻找函数为某个值的解和反向插值

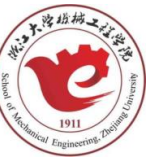
- (1) 给定一个函数  $F(x)$  和值  $\eta$  , 求  $\xi$  使得  $F(\xi) = \eta$  ;
- (2) 给定对未知函数  $F(x)$  采样得到的一些数据点  $(x_k, y_k)$  , 以及一个值  $\eta$  , 求  $\xi$  使得  $F(\xi) = \eta$  ;

$$(1) \quad f(x) = F(x) - \eta \qquad f(\xi) = 0$$
$$F(\xi) = \eta$$

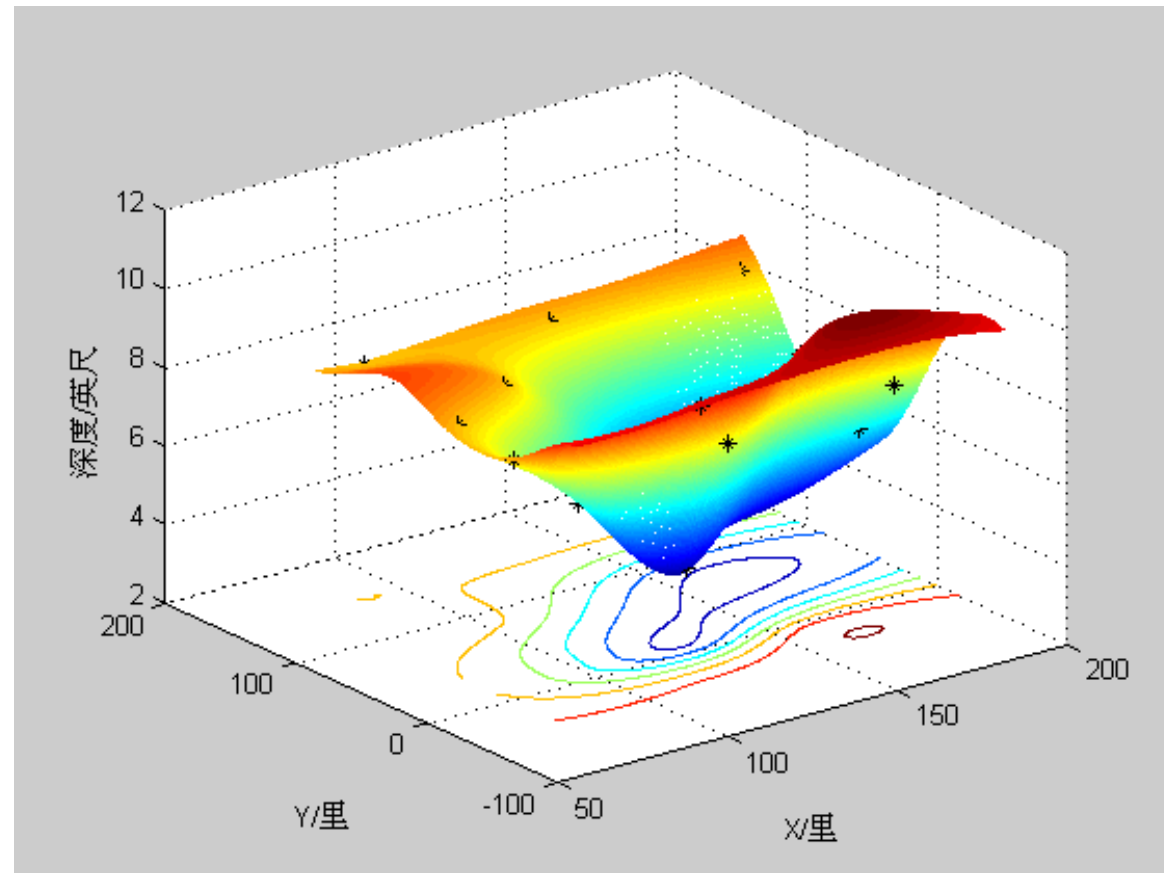
$$(2) \quad \text{采用某种插值, } f(x) = P(x) - \eta$$

对于有些情况, 可以采用反向插值

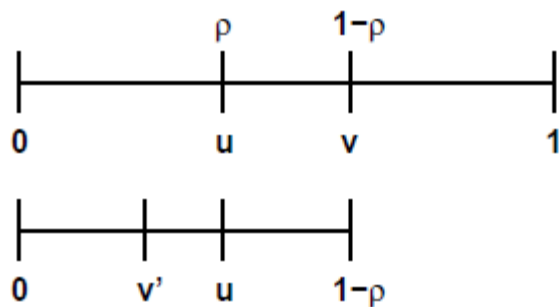
# 最优化 和 fminx



Min fun(x)  
Sub. To [C.E.]  
[B.E.]



# 最优化 和 fminbx

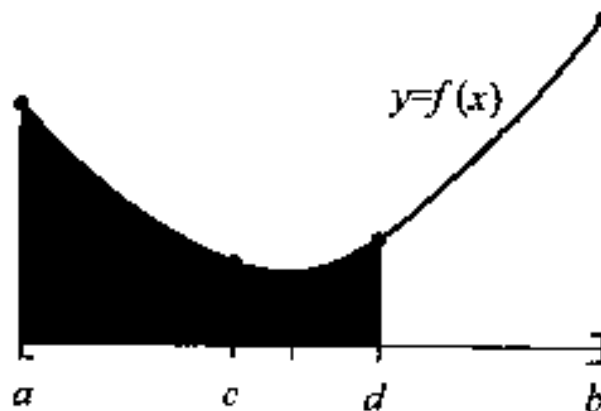


$$\frac{\rho}{1-\rho} = \frac{1-\rho}{1},$$

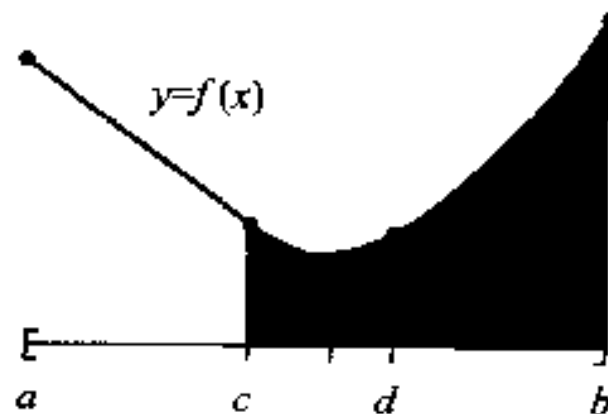
$$\rho^2 - 3\rho + 1 = 0.$$

Figure 4.7. Golden section search.

$$\rho = 2 - \phi = (3 - \sqrt{5})/2 \approx 0.382.$$



如果  $f(c) < f(d)$ , 则从右边  
压缩并使用区间  $[a, d]$



如果  $f(d) < f(c)$ , 则从左边  
压缩并使用区间  $[c, b]$



# 最优化 和 fminx

$$f'(x) = 0$$

$$h(x) = \frac{1}{(x - 0.3)^2 + 0.01} + \frac{1}{(x - 0.9)^2 + 0.04}.$$

step	x	f(x)
init:	0.1458980337	-25.2748253202
gold:	0.8541019662	-20.9035150009
gold:	-0.2917960675	2.5391843579
para:	0.4492755129	-29.0885282699
para:	0.4333426114	-33.8762343193
para:	0.3033578448	-96.4127439649
gold:	0.2432135488	-71.7375588319
para:	0.3170404333	-93.8108500149
para:	0.2985083078	-96.4666018623
para:	0.3003583547	-96.5014055840
para:	0.3003763623	-96.5014085540
para:	0.3003756221	-96.5014085603

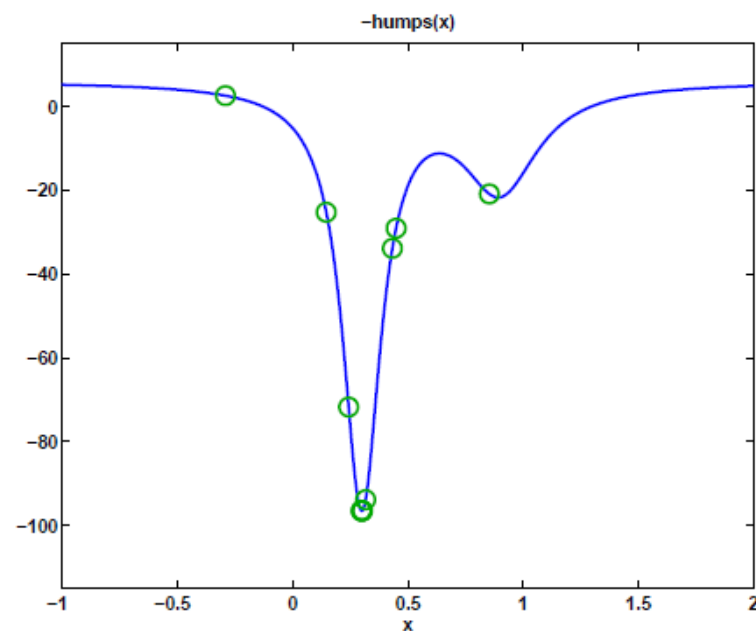
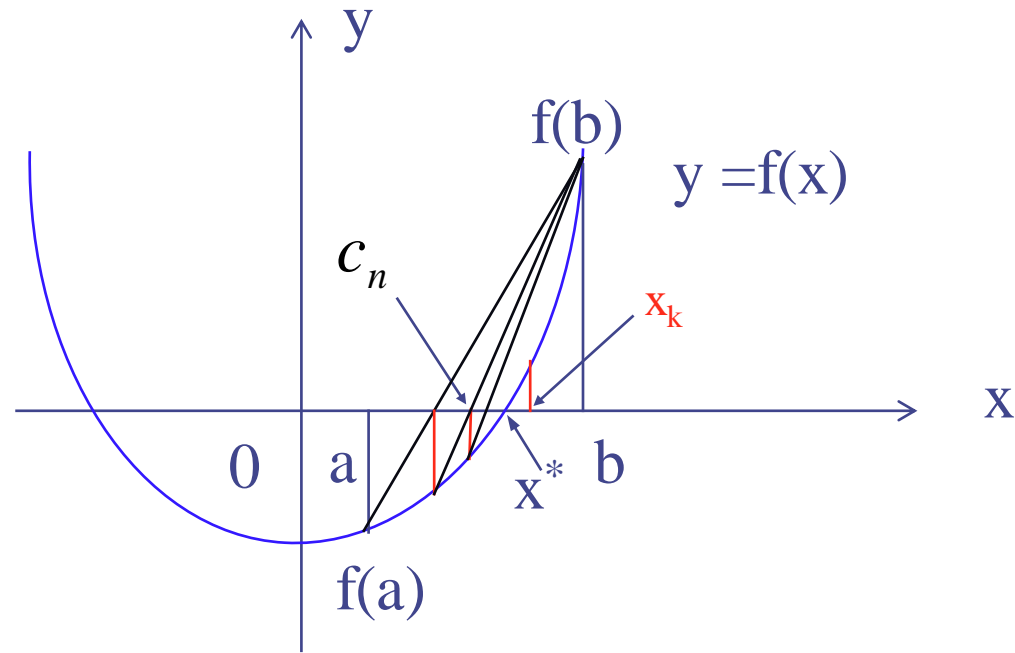
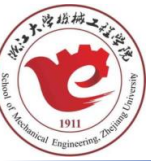


Figure 4.8. Finding the minimum of  $-humps(x)$ .

# 试值法



$$c_n = b_n - \frac{f(b_n)(b_n - a_n)}{f(b_n) - f(a_n)}$$

## 横向收敛区:

纵坐标的封闭性通常通过  $|f(p_n)| < \epsilon$  来检查。

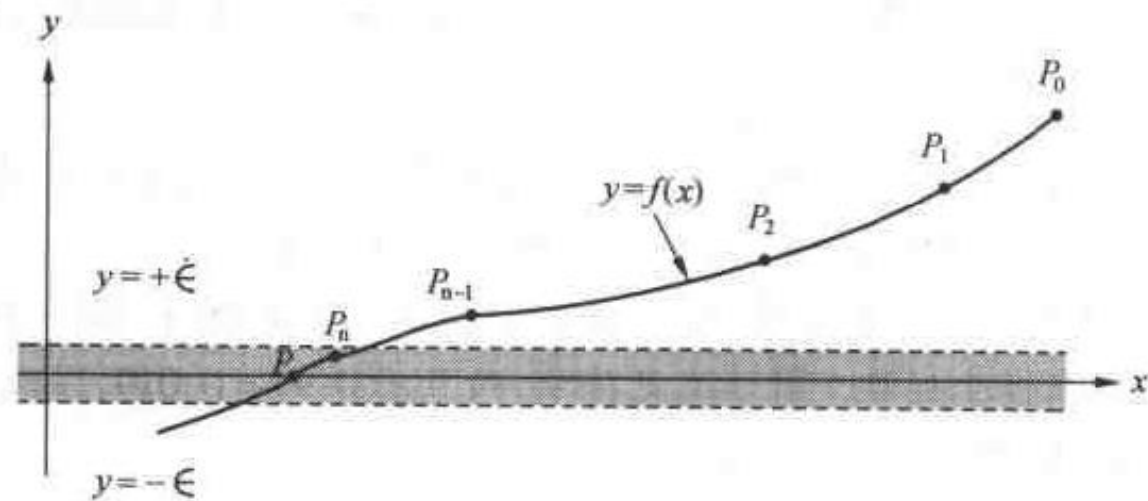


图 2.11(a) 定位函数  $f(x) = 0$  的解的横向收敛区

## 纵向收敛区:

$$|p_n - p_{n-1}| < \delta \quad (\text{评价绝对误差})$$

$$\frac{2|p_n - p_{n-1}|}{|p_n| + |p_{n-1}|} \quad (\text{评价相对误差})$$

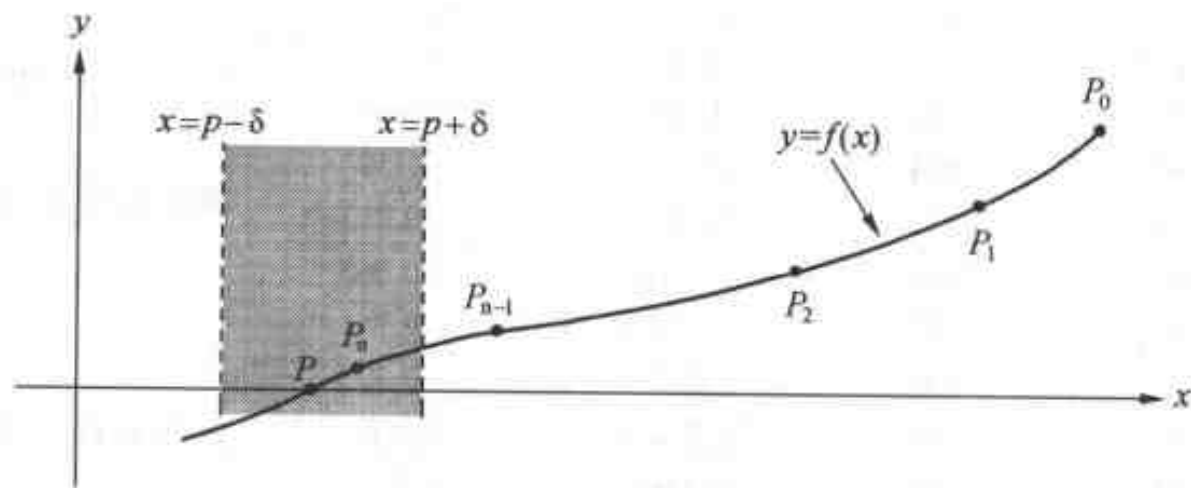


图 2.11(b) 定位函数  $f(x) = 0$  的解的纵向收敛区

## 收敛区域:

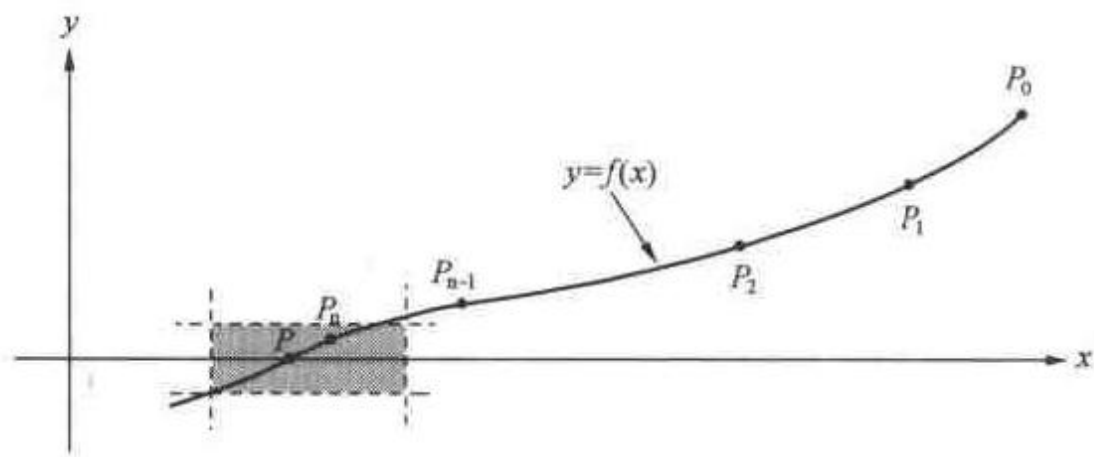


图 2.12(a) 由  $|x-p| < \delta$  和  $|y| < \epsilon$  定义的矩形区域

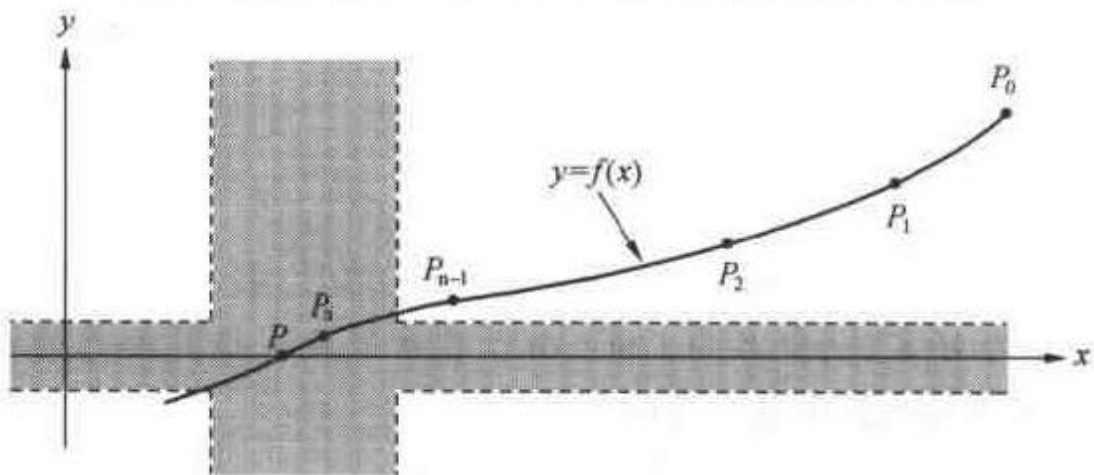


图 2.12(b) 由  $|x-p| < \delta$  或  $|y| < \epsilon$  定义的区域

# Program 2.2 (Bisection Methods)

```
function [c,err,yc] = bisect(f,a,b,delta)
% Input - f is the function input as a string 'f'
%        - a and b are the left and right end points
%        - delta is the tolerance
% Output- c is the zero
%        - yc = f(c)
%        - err is the error estimate for c
ya = feval(f,a);
yb = feval(f,b);
if ya * yb > 0, break, end
max1 = 1 + round((log(b - a) - log(delta))/log(2));
for k = 1:max1
    c = (a + b)/2;
    yc = feval(f,c);
    if yc == 0
        a = c;
        b = c;
```

```
elseif yb * yc > 0
    b = c;
    yb = yc;
else
    a = c;
    ya = yc;
end
if b - a < delta, break, end
end
c = (a + b)/2;
err = abs(b - a);
yc = feval(f,c);
```

$$\frac{b - a}{2^{k+1}} \leq \epsilon$$

# Program 2.3 False Position or Regular False Method

```
function [c,err,yc] = regula(f,a,b,deltak,epsilon,max1)
% Input - f is the function input as a string 'f'
%        - a and b are the left and right end points
%        - delta is the tolerance for the zero
%        - epsilon is the tolerance for the value of f at the zero
%        - max1 is the maximum number of iterations
% Output- c is the zero
%        - yc = f(c)
%        - err is the error estimate for c
ya = feval(f,a);
yb = feval(f,b);
if ya*yb>0
    disp('Note: f(a) * f(b) > 0'),
    break,
end
for k = 1:max1
    dx = yb*(b-a)/(yb-ya);
    c = b - dx;
    ac = c - a;
    yc = feval(f,c);
    if yc == 0, break;
    elseif yb*yc > 0
        b = c;
        yb = yc;
    else
        a = c;
        ya = yc;
    end
    dx = min(abs(dx),ac);
    if abs(dx) < deltak, break, end
    if abs(yc) < epsilon, break, end
end
c;
err = abs(b - a))/2;
yc = feval(f,c);
```

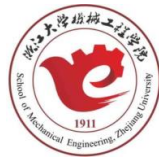
# Program2.5 (Newton-Raphson Iteration)

$$f(x) = 0 \qquad p_k = p_{k-1} - \frac{f(p_{k-1})}{f'(p_{k-1})}$$

```
function [p0,err,k,y] = newton(f,df,p0,delta,epsilon,max1)
% Input   - f is the object function input as a string 'f'
%          - df is the derivative of f input as a string 'df'
%          - p0 is the initial approximation to a zero of f
%          - delta is the tolerance for p0
%          - epsilon is the tolerance for the function values y
%          - max1 is the maximum number of iterations
% Output  - p0 is the Newton - Raphson approximation to the zero
%          - err is the error estimate for p0
%          - k is the number of iterations
%          - y is the function value f(p0)
for k = 1:max1
    p1 = p0 - feval(f,p0)/feval(df,p0);
    err = abs(p1 - p0);
    relerr = 2 * err/(abs(p1) + delta);
    p0 = p1;
    y = feval(f,p0)
    if (err < delta) || (relerr < delta) || (abs(y) < epsilon), break, end
end
```



# Aitken's Process and Steffensen's and Muller's Methods (Optional)



## ◆ Aitken's Process

$$\frac{p - p_{n+1}}{p - p_n} \approx A \quad \text{和} \quad \frac{p - p_{n+2}}{p - p_{n+1}} \approx A, \quad \text{其中 } n \text{ 足够大}$$

**定理 2.8(Aitken 加速)** 设序列  $\{p_n\}_{n=0}^{\infty}$  线性收敛到极限  $p$ , 而且对所有  $n \geq 0$ , 有  $p - p_n \neq 0$ 。如果存在实数  $A$ , 且  $|A| < 1$ , 满足:

$$\lim_{n \rightarrow \infty} \frac{p - p_{n+1}}{p - p_n} = A \quad (3)$$

则定义为:

$$q_n = p_n - \frac{(\Delta p_n)^2}{\Delta^2 p_n} = p_n - \frac{(p_{n+1} - p_n)^2}{p_{n+2} - 2p_{n+1} + p_n} \quad (4)$$

的序列  $\{q_n\}_{n=0}^{\infty}$  收敛到  $p$ , 且比  $\{p_n\}_{n=0}^{\infty}$  快, 而且:

$$\lim_{n \rightarrow \infty} \left| \frac{p - q_n}{p - p_n} \right| = 0 \quad (5)$$

证明: 下面将证明如果得到式(4), 并把对式(5)的证明作为练习。由于式(3)中的项是逼近一个极限, 可写成:

$$\frac{p - p_{n+1}}{p - p_n} \approx A \quad \text{和} \quad \frac{p - p_{n+2}}{p - p_{n+1}} \approx A, \quad \text{其中 } n \text{ 足够大} \quad (6)$$

则根据式(6)中的关系式可得到:

$$(p - p_{n+1})^2 \approx (p - p_{n+2})(p - p_n) \quad (7)$$

当展开式(7)的两边并消除  $p^2$ , 可得到:

$$p \approx \frac{p_{n+2} - p_n - p_n^2}{p_{n+2} - 2p_{n+1} + p_n} = q_n, \quad n = 0, 1, \dots \quad (8)$$

## 例 2.2 设有收敛迭代

$$p_0 = 0.5, p_{k+1} = e^{-p_k}, k = 0, 1, \dots$$

前十项的计算结果如下所示:

$$p_1 = e^{-0.500000} = 0.606531$$

$$p_2 = e^{-0.606531} = 0.545239$$

$$p_3 = e^{-0.545239} = 0.579703$$

$$\vdots$$

$$p_9 = e^{-0.566409} = 0.567560$$

$$p_{10} = e^{-0.567560} = 0.566907$$

这个序列是收敛的,且进一步计算可发现:

$$\lim_{n \rightarrow \infty} p_n = 0.567143 \dots$$

这样,可找到函数  $y = e^{-x}$  的固定点近似值。

**例 2.18** 证明例 2.2 中的序列  $\{p_n\}$  是线性收敛。同时证明由 Aitken's  $\Delta^2$  过程得到的序列  $\{q_n\}$  收敛得更快。

使用函数  $g(x) = e^{-x}$ , 从  $p_0 = 0.5$  开始, 通过固定点迭代可得到序列  $\{p_n\}$ 。收敛后的极限为  $p_n$  和  $q_n$  的值如表 2.10 和表 2.11 所示。例如,  $q_1$  的值的计算过程如下:

$$\begin{aligned} q_1 &= p_1 - \frac{(p_2 - p_1)^2}{p_3 - 2p_2 + p_1} \\ &= 0.606530660 - \frac{(-0.061291448)^2}{0.095755331} = 0.567298989 \end{aligned}$$

表 2.10 线性收敛序列  $\{p_n\}$ 

$n$	$p_n$	$E_n = p_n - p$	$A_n = \frac{E_n}{E_{n-1}}$
1	0.606530660	0.039387369	-0.586616609
2	0.545239212	-0.021904079	-0.556119357
3	0.579703095	0.012559805	-0.573400269
4	0.560064628	-0.007078663	-0.563596551
5	0.571172149	0.004028859	-0.569155345
6	0.564862947	-0.002280343	-0.566002341

表 2.11 用 Aitken 过程得到的序列  $\{q_n\}$ 

$n$	$q_n$	$q_n - p$
1	0.567298989	0.000155699
2	0.567193142	0.000049852
3	0.567159364	0.000016074
4	0.567148453	0.000005163
5	0.567144952	0.000001662
6	0.567143825	0.000000534

尽管表 2.11 中的序列  $\{q_n\}$  为线性收敛, 根据定理 2.8, 它比  $\{p_n\}$  收敛得快。而通常 Aitken 方法改进后收敛速度更快。把固定点迭代和 Aitken 过程结合起来的方法称为 Steffensen 加速。

## Muller' s Method

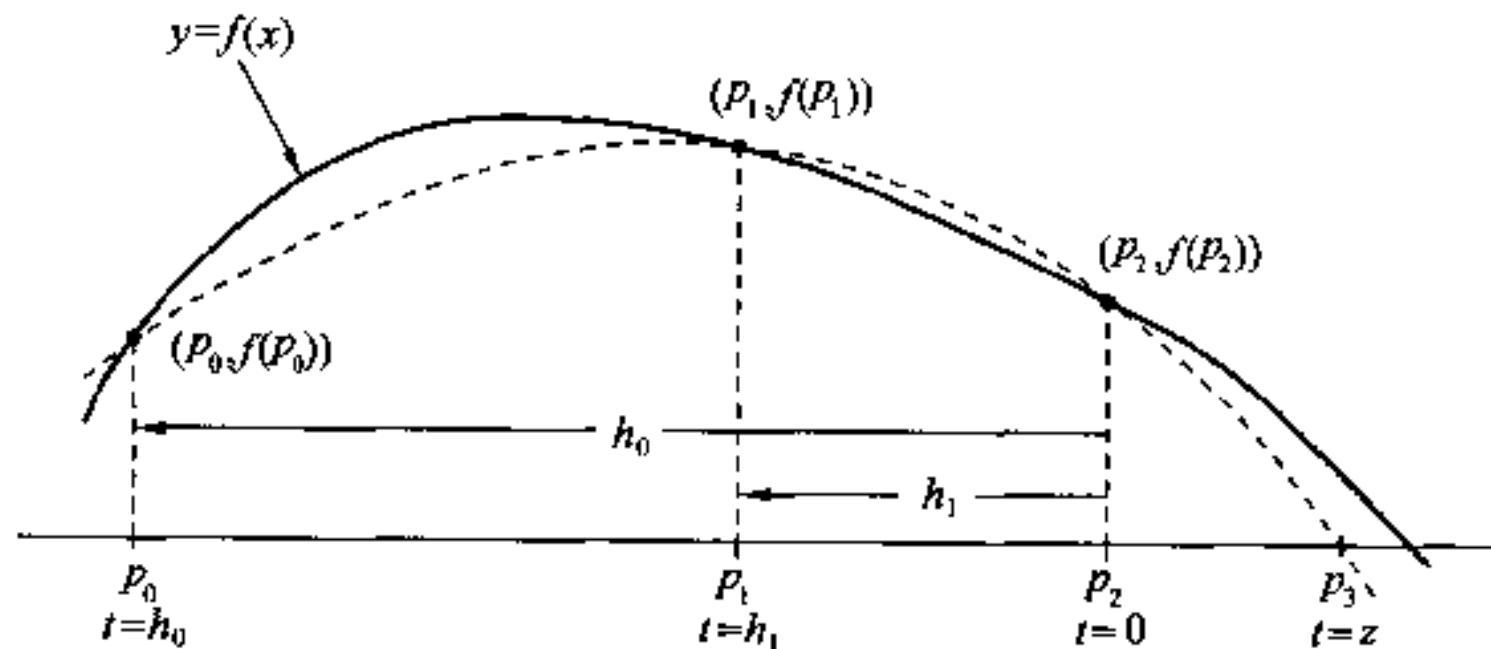


图 2.17 采用 Muller 法的初始近似值  $p_0, p_1$  和  $p_2$ , 以及差分  $h_0$  和  $h_1$

$$t = x - p_2 \quad (9)$$

使用差分为:

$$h_0 = p_0 - p_2 \text{ 和 } h_1 = p_1 - p_2 \quad (10)$$

设包含变量  $t$  的二次多项式为:

$$y = at^2 + bt + c \quad (11)$$

根据每一点可得到一个包含  $a$ 、 $b$  和  $c$  的方程:

$$\begin{aligned} \text{当 } t = h_0: & \quad ah_0^2 + bh_0 + c = f_0 \\ \text{当 } t = h_1: & \quad ah_1^2 + bh_1 + c = f_1 \\ \text{当 } t = 0: & \quad a0^2 + b0 + c = f_2 \end{aligned} \quad (12)$$

从式(12)中的第三个方程,可看到:

$$c = f_2 \quad (13)$$

将式(13)代入式(12)中的前两个方程,并利用定义  $e_0 = f_0 - c$  和  $e_1 = f_1 - c$ ,可得到线性方程组:

$$\begin{aligned} ah_0^2 + bh_0 &= f_0 - c = e_0. \\ ah_1^2 + bh_1 &= f_1 - c = e_1. \end{aligned} \quad (14)$$

求解线性方程组可得：

$$\begin{aligned}a &= \frac{e_0 h_1 - e_1 h_0}{h_1 h_0^2 - h_0 h_1^2} \\b &= \frac{e_1 h_0^2 - e_0 h_1^2}{h_1 h_0^2 - h_0 h_1^2}\end{aligned}\quad (15)$$

下列二次式用来求解式(11)的根  $t = z_1, z_2$

$$Z = \frac{-2c}{b \pm \sqrt{b^2 - 4ac}} \quad (16)$$

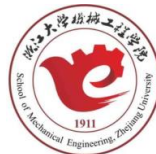
式(16)等价于求二次根的标准公式,而且由于  $c = f_2$ ,所以它的情况更好。

为了确保方法的稳定性,需要选择式(16)中绝对值最小的根。如果  $b > 0$ ,使用带正号的根;如果  $b < 0$ ,使用带负号的根。则  $p_3$  如图 2.17 所示,表示为:

$$p_3 = p_2 + z \quad (17)$$

为了更新迭代,需要从  $\{p_0, p_1, p_2\}$  中选择最靠近  $p_3$  的两点为新的  $p_0$  和  $p_1$  (即放弃离  $p_3$  最远的一点)。然后使用新的  $p_2$  替代  $p_3$ 。尽管在 Muller 法中有许多辅助计算,但它每个迭代只需要计算一个函数。

# 直接用Matlab解非线性方程



MATLAB 命令输入格式:

`solve('eqn1','eqn2',..., 'eqnN')`

或

`solve('eqn1','eqn2',..., 'eqnN','var1','var2',..., 'varN')`

其中  $\text{eqn}i$  表示第  $i$  个方程,  $\text{var}i$  表示第  $i$  个变量,  $i = 1, 2, \dots, N$ .

1. 一般方程

例如, 求解方程  $x^2 + bx + c = 0$ .

输入:

`solve('x^2 + b * x + c')`

输出:

$\left[ -\frac{1}{2} * b + \frac{1}{2} * (b^2 - 4 * c)^{(1/2)} \right]$

$\left[ -\frac{1}{2} * b - \frac{1}{2} * (b^2 - 4 * c)^{(1/2)} \right]$



## 2. 多项式方程

除了用上面求解一般方程的方法外,还可以直接用求解多项式方程的 MATLAB 函数 `roots(p)`,其中 `p` 是多项式的系数按降幂排列所形成的  $n+1$  维列向量,它能够给出全部根(包含重根).

例如,求解多项式方程  $x^9 + x^8 + 1 = 0$ .

输入:

```
p = [1,1,0,0,0,0,0,0,1];  
roots(p)
```

输出:

```
-1.2131  
-0.9017 + 0.5753i  
-0.9017 - 0.5753i  
-0.2694 + 0.9406i  
-0.2694 - 0.9406i  
0.4168 + 0.8419i  
0.4168 - 0.8419i  
0.8608 + 0.3344i  
0.8608 - 0.3344i
```

注意:也可以用 `solve('x^9 + 1')` 求解,有何区别?

# 思考题

- 1、如何改进二分法，使其收敛速度加快？
- 2、怎样修正牛顿迭代法可以提高其收敛速度？
- 3、为什么埃特肯加速法能提高线性迭代序列的收敛速度？
- 4、有无其他可行的解非线性方程的方法？

## 范例：波音公司飞机最佳定价策略

全球最大的飞机制造商——波音公司自 1955 年推出波音 707 开始,成功地开发了一系列的喷气式客机.问题:讨论该公司对一种新型客机最优定价策略的数学模型.

定价策略涉及到诸多因素,这里考虑以下主要因素:

价格、竞争对手的行为、出售客机的数量、波音公司的客机制造量、制造成本、波音公司的市场占有率等等因素.

价格记为  $p$ ,根据实际情况,对于民航飞机制造商,能够与波音公司抗衡的竞争对手只有一个,因此他们可以在价格上达成一致,具体假设如下:

1) 型号:为了研究方便,假设只有一种型号飞机;

2) 销售量:其销售量只受飞机价格  $p$  的影响.预测以此价格出售,该型号飞机全球销售量为  $N$ .  $N$  应该受到诸多因素的影响,假设其中价格是最主要的因素.根据市场历史的销售规律和需求曲线,假设该公司销售部门预测得到

$$\underline{N = N(p) = -78p^2 + 655p + 125.}$$

3)市场占有率:既然在价格上达成一致,即价格的变化是同步的,因此,不同定价不会影响波音公司的市场占有率,因此市场占有率是常数,记为  $h$ .

4)制造数量:假设制造量等于销售量,记为  $x$ .既然可以预测该型号飞机全球销售量,结合波音公司的市场占有率,可以得到

$$\underline{x = h \times N(p).}$$

5)制造成本:根据波音产品分析部门的估计,制造成本为

$$\underline{C(x) = 50 + 1.5x + 8x^{\frac{3}{4}}.}$$

6)利润:假设利润等于销售收入去掉成本,并且公司的最优策略原则为利润  $R(p)$  最大.利润函数为

$$\underline{R(p) = px - C(x).}$$

# 感谢聆听,欢迎讨论!